

1990
1990

ISSN—0132—6074



საქართველოს სსრ მეცნიერებათა აკადემიის მაცნე

ИЗВЕСТИЯ АКАДЕМИИ НАУК ГРУЗИНСКОЙ ССР
PROCEEDINGS OF THE ACADEMY OF SCIENCES
OF THE GEORGIAN SSR

1990 N 2

ІПАПП
СЕРИЯ
ХИМИЧЕСКАЯ

1990 N 2

თბილისი ტბილისი
ТБИЛИСИ - ТОМ.
TBILISI VOL.

16

1. კუტნალურ „საქართველოს სსრ მეცნიერებათა აკადემიის მაცნე, ქიმიის სერია“ სსრ დება წერილები ძირითადად ქართულ და რუსულ ენგზე, რომელგშიც ასახულია თეორეტიკული და კექცერისტიკული კვლევათა შეღებები თანამდებობა ქიმიისა და ტექნოლოგიის მიმართ და მიმდევათ და მიმოხილვით სამეცნიერო წერილები.

ଶ୍ରେଷ୍ଠକାରୀଙ୍କ ପଦକାରୀଙ୍କ ମଧ୍ୟ ଉପରେ ଏହା ହେଉଥିଲା ।

2. წერილის მოცულობა ცნობილებით, ნახატებით (სამი ნახატი უტოლდება კვერცხს), ნახატების კვერცხ წარწერებით, დამოწმებული ლიტერატურის ნუსხით, რეზოუნი ბით (ქართულ, რუსულ და ანგლიისურ ენებში) ას უნდა აღმიტებოლეს მანქანაზე ნახუ 12 კვერცხს, 3 სმ სიგანის მინილიტ მარცხნიან კიდურზე.

ଶ୍ରୀନାଥେଶ୍ୱର, ଲାତ୍ରୁକୁରୁତ୍ତିଳିଙ୍କ ନୃତ୍ୟ, ଡାକ୍ତରାଜାଶ୍ରୀପାତ୍ରଲ୍ଲା ପ୍ରକଳ୍ପରେ ତା ନାଚଶ୍ରୀପିଙ୍କ ସେମିନିର୍ମାଣରେ ଏହାରୁଲୋକ ପାଇଁ-ପାଇଁ ଆଗରୁଦ୍ଧିତାରେ ଉପରେ ଉପରେ ।

3. მოკლე წერილის მოცულობა არ უნდა ღემატებოდეს მარქანზე ნაბეჭდ 4 გვრცელების შეიძლება ილუსტრირებული იყოს 1—2 ნახატით. მას თან უნდა ერთოფლეს ასეთი შემსრულებელი.

4. სამეცნიერო უნდა წარმოგვინდეს ორ კალათ, მას უნდა ახლდეს დაწესებულების წართვა, სამეცნიერო საპროს (კათედრის, განყოფილების, ლაბორატორიის) გადაწყვეტილების გამოყენებაზე, საეჭვებო კომისიის დაკავშირის.

5. ექსპრესიონისტულ ნაწილს წილი ერთობის მოყვავე ჟაკისალი, რომელშიც ასახულია სამ პასუხისმგებელის მიზანი, მთლიანი მას შემდეგ მიღებული შედეგების განჩილვა და დასკვერა. ექსპრესიონისტულ და ასათაურდეს.

გამოიტენი წელი, ტომი, ნომერი და გვარისება; თუ დამოწმებულია წიგნი, აუცილებელი კონფიდენციალური მისი სახელწოდება, ქალაქი, გამომცემის დღე და გვარისება. დამოწმებული ტექსტის გამოყენებასთან ერთად დაუგვიას დამოწმების შესაბამისი თანხმილეურობით. გასოდეს ერთხელ მასალების სტარტება (გარდა დისტრიბუტორისა) დაწესდებულია.

10. အောက်ပါတော်းမှု နှင့် အောက်ပါတော်းမှု မြန်မာနိုင်ငံ ပြည်ထောင်စု၊ နယ်မြေတော်းမှု မြန်မာနိုင်ငံ ပြည်ထောင်စု၊

10. නොවාතුළුදී, මඟලුදී පි වෙශ්පෑළයේ ආර්ථික පෙනෙනුව යොදාගැනීමෙන් මෙය මෙහෙයුම් වේ.

ବୁଦ୍ଧିମତ୍ତା କରିବାର ପାଇଁ ଏହାକୁ ବନ୍ଦ କରିବାକୁ ଆପଣଙ୍କ ଅନୁରୋଧ କରିଛନ୍ତି।



გეოგრაფია СЕРИЯ ХИМИЧЕСКАЯ

ტომი 16, № 2
Том

ქურნალი დაარსდა 1975 წლის იანვარში
Журнал основан в январе 1975 года

გამოდის წლიწადში 4-ჯერ
Выходит 4 раза в год

თბილისი
ТБИЛИСИ



„მეცნიერება“
«МЕЦНИЕРЕБА»

● 1990

Известия АН ГССР, серия химическая
(на грузинском, русском и английском языках)

Известия АН ГССР
© Серия химическая, 1990

რედაქციის მისამართი:
380060, თბილისი-60, კუტუზოვის ქ. 19, ოთახი 18
ტელ. 37-86-78

Адрес редакции:
380060, Тбилиси 60, Кутузова 19, комната 18
тел. 37-86-78

Корректор Б. Григалашвили

Сдано в набор 10.12.89. Подписано в печать 08.05.90
УЭ 03637. Формат 70×108¹/₁₆. Бумага № 1. Высокая печать.
7,0 усл.-печ. л. 7,53 кр.-отт. 5,8 уч.-изд. л.
Тираж 1120 экз. Заказ 3209. Цена 90 коп.

გამოცემის მუნიციპალიტეტი „მეცნიერება“, თბილისი, 380060, კუტუზოვის ქ., 19
Издательство «Мецниереба», Тбилиси, 380060, ул. Кутузова, 19

საქართველოს სსრ მეცნ. დაწესების სტამბა, თბილისი, 380060, კუტუზოვის ქ., 19
Типография АН Грузинской ССР, Тбилиси, 380060, ул. Кутузова, 19

თ. ანდრონიკაშვილი (რედაქტორი), თ. აგლაძე, ა. ავალიანი, ი. ბარათაშვილი,
 ფ. ბროუჩეკი (სწავლული მდივანი), გ. გველესიანი, ვ. ერისთავი, ლ. მელიქიძე,
 შ. სიდამონიძე, ე. ქემერტელიძე, გ. ცაგარევშვილი, გ. ცინცაძე (რედაქტორის
 მოადგილი), გ. ცინცარიძე, ლ. ხანანაშვილი, კ.ჭავარიძე (რედაქტორის მოად-
 გილი), ლ. ჯაფარიძე

პასუხისმგებელი მდივანი ვ. შუბლაძე

РЕДАКЦИОННАЯ КОЛЛЕГИЯ

Т. Г. Андronikashvili (редактор), Т. Р. Агладзе, А. Ш. Авалиани,
 И. Б. Бараташвили, Ф. И. Броучек (ученый секретарь), Г. Г. Гвелеси-
 ани, К. Г. Джапаридзе (зам. редактора), Л. Н. Джапаридзе, Э. П. Ке-
 мертелидзе, Л. Д. Меликадзе, Ш. И. Сидамонидзе, Л. М. Хананашвили,
 Г. В. Цинцадзе (зам. редактора), Г. В. Цагареишви-
 ли, В. Д. Эристави.

Ответственный секретарь В. В. Шубладзе

EDITORIAL BOARD

T. G. Andronikashvili (Editorial), T. R. Agladze, A. Sh. Avaliani, I. B.
 Baratashvili, F. I. Brouchek (Scientific Secretary), G. G. Gvelesiani, K. G.
 Japaridze (Associate Editor), L. N. Japaridze, E. P. Kemertelidze, L. D.
 Melikadze, Sh. I. Sidamonidze, L. M. Khananashvili, G. V. Tsitsishvili,
 G. V. Tsintsadze (Associate Editor), G. V. Tsagareishvili, V. D. Eristavi

Executive Secretary V. V. Shubladze



СОДЕРЖАНИЕ

ОРГАНИЧЕСКАЯ ХИМИЯ

Тактакишили М. О., Цицикишили Т. К., Табджун А., Кико- ладзе В. С., Алавидзе Л. М., Самсония Ш. А., Бадридзе М. Г. Синтез 6-О-алкилированного гуанозина и 1-рибозил-6-нитроиндола и индолина для фосфотриэфирного олигонуклеотидного синтеза	87
Мхеидзе Н. П., Аихазава П. Н., Чиракадзе Г. Г. Полигидерные ароматические органокремнеземы и азокрасители на их основе	98
Коршак В. В., Русанов А. Л., Маргалитадзе Ю. Н., Фидлер С. Х., Гвердцители М. Г., Казакова Г. В., Махарашили Н. З., Тугushi Д. С. Растворимые ароматические полиимиды на ос- нове 3,3'-дихлор-4,4'-диаминодифенилметана	101
Кацитадзе М. Г., Накаидзе Л. И., Казакова В. В., Чогове- дзе Т. В., Хананашвили Л. М. Некоторые превращения трицик- лодесцениламиноисланов и трициклодесценилсилаланов	109
Гахокидзе Р. А., Сидамонидзе Н. Н. Синтез производных α -D-глю- косахариновой кислоты	109
Долидзе А. В., Алавидзе Т. Г., Суладзе М. Б., Багатурия М. Ш., Вардосанидзе И. Э. Карбонилирование циклоолефинов муравьиной кислотой в присутствии кислотных катализаторов	115
	121

ФИЗИЧЕСКАЯ ХИМИЯ

Ципишили Г. В., Майсурадзе Г. В., Чивадзе Г. О., Метреве- ли Г. В., Зедгенидзе Р. Ш., Кекелия Д. В., Антошин Г. В. Катализитическая активность медных форм цеолита У	125
Андроникашвили Т. Г., Стрильчук Л. В., Банах О. С. Хрома- тографическое разделение низкокипящих газов на природном мордените	131

ТЕХНОЛОГИЯ

Гапридиашвили В. Н., Гоглидзе В. М., Джиджеишвили Н. Ш., Келбакиани Н. В., Миндели М. П., Гамкрелидзе Н. В. Нейтрализация кислых гудронов бариевыми шламами Кутаисского лито- ационного завода	136
Джапаридзе К. К., Иосава И. Г., Тарапшили Н. А., Карсань- дзе С. Г., Цискаришвили П. Д. Сульфирование концентрата Ткибульского смоляного липтобиолита	139

КРАТКИЕ СООБЩЕНИЯ

Тавадзе Ф. Н., Эбаноидзе Д. Д., Гилаури З. М., Микадзе О. И., Дзиидзебадзе Т. Г., Ратишвили М. А., Чипашвили Д. Д., Амаглобели Б. Г., Чкония Дж. И. Коэффициент термического расширения сплавов системы Fe—Cr	143
Ципишили Г. В., Долидзе А. В., Баларджишвили Г. И., Та- тиашвили Л. Т. Получение циклоолефиновых мономеров	146
Гигаури Р. Д., Чавчанидзе Н. Г., Гиуашвили И. И., Индзия М. А. Действие хлорида кремния (IV) на триалкиларсенитов	151
Кереселидзе Р. В., Ципишили В. Г., Лубуж Е. Д., Размадзе Д. Б. Синтез дихлорвинильных производных нафталина	152
Сагарейшвили Т. Г., Алания М. Д. Фенольные соединения <i>Cercis</i> <i>siliquastrum</i> , <i>C. Cannadensis</i> и <i>Fraxinus Ognus</i>	155
Коркашвили Т. Ш., Пхеидзе Т. А. Динамика накопления стероидных гликозидов в корнях и корневищах <i>Ruscus Ponticus Wor.</i>	157
Гвердцители М. И., Девдариани Р. О. Алгебраическое рассмотрение реакций образования галогенводородов и халкогенводородов	159
	85

CONTENTS



ORGANIC CHEMISTRY

Taktakishvili M. O., Tsitskishvili, T. K., Tabjune A., Kikoladze V. S., Alavidze L. M., Samsonia Sh. A., Badridze M. G. The synthesis of 6-0-alkylguanosine and 1-ribosil-6-nitroindole and indoline for phosphotriester oligonucleotide synthesis	96
Mkheidze N. P., Apkhazava P. N., Chirakadze G. G. Polycyclic aromatic arganasilica gels and azo dyes on its base	102
Korshak V. V., Rusanov A. L., Margalitadze Yu. M., Fidler S. Kh., Gverdtsiteli M. G., Kazakova G. V., Makharashvili N. Z., Tugushi D. S. Soluble aromatic polyimides on the base of 3,3-dichloro-4,4-diaminodiphenylmethane	107
Katsiadze M. G., Nakaidze L. I., Kazakova V. V., Chogovadze T. V., Khananashvili L. M. On some transformations of tricyclo-decenilaminosilanes and silazanes	114
Gakhokidze R. A., Sidamoniadze N. N. Synthesis of α -D-glucosaccharinic acid derivatives	120
Dolidze A. V., Alavidze T. G., Suladze M. B., Bagaturia N. Sh., Vardosanidze I. E. Carbonylation of cycloolefins by formic acid in the presence of acid catalysts	124

PHYSICAL CHEMISTRY

Ttitsishvili G. V., Maisuradze G. V., Chivadze G. O., Metreveli V. G., Zedgenidze R. Sh., Kekelia D. V., Antoshin G. V. Catalytic activity of copper forms of Y zeolites	129
Andronikashvili T. G., Strilechuk L. V., Banakh V. S. Chromatographic separation of low-boiling cases on natural mordenite	135

TECHNOLOGY

Gaprindashvili V. N., Goglidze V. M., Jijeishvili N. Sh., Kelbakiani N. V., Mindeli M. P., Gamkrelidze N. V. Neutralisation of acid tar with barium slimes of Kujaisi lithopon plant	138
Japaridze K. K., Iosava I. G., Tarashvili N. A., Karsanidze S. G., Tsiskarishvili P. D. Sulphuration of Tkibuli wax liphobitolite concentrate	142

SHORT COMMUNICATIONS

Tavadze F. N., Ebanojidze D. D., Gilauri Z. M., Mikadze O. I., Dzindzibadze T. G., Ratishvili M. A., Amaglobeli B. G., Chkoniya J. I. Thermal expansion coefficient of Fe-Cr system alloys	145
Tsitsishvili G. V., Dolidze A. V., Balarjishvili G. I., Tatiashvili L. G. The obtaining of cycloolefinic monomers	140
Ghiaguri R. D., Chavchanidze N. G., Ghiuashvili I. I., Injia M. A. The interaction of silicon chloride with trialkilarsenites	150
Kercselidze R. V., Tsitsishvili V. G., Lubuzh E. D., Razmadze D. B. Synthesis of dichlorovinyl derivatives of naphthalene	154
Sagareishvili T. G., Alania M. D. Phenolic compounds from Cercis Siliquastrum, C. Cannadensis and Fraxinus Ornus	155
Korkashvili T. S., Pkheidze T. A. The dynamics of the accumulation of steroid glycosides in the roots and rhizomes of <i>Ruscus Ponticus</i> Wor. Gverdtsiteli M. I., Devdariani R. O. Algebraical characteristic of the reactions of hydrohalogens and hydrohalocogens formation	158

ОРГАНИЧЕСКАЯ ХИМИЯ

УДК 547. 963.32.07

М. О. ТАКТАКИШВИЛИ, Т. К. ЦИЦКИШВИЛИ, А. ТАБДЖУН,
В. С. ҚИКОЛАДЗЕ, Л. М. АЛАВИДЗЕ, Ш. А. САМСОНИЯ, М. Г. БАДРИДЗЕ

СИНТЕЗ 6-О-АЛКИЛИРОВАННОГО ГУАНОЗИНА И 1-РИБОЗИЛ- 6-НИТРОИНДОЛА И ИНДОЛИНА ДЛЯ ФОСФОТРИЭФИРНОГО ОЛИГОНУКЛЕОТИДНОГО СИНТЕЗА

Замена природных нуклеотидов в олигонуклеотидах и функционально значимых фрагментах ДНК на их аналоги — нуклеотиды, модифицированные по гетероциклическому основанию или сахарному остатку, вызывает нарушение вторичной структуры ДНК, влияет на ее поведение в качестве субстрата экзонуклеаз, эндонуклеаз (рестриктаз) и других ферментов нуклеинового обмена [1—7].

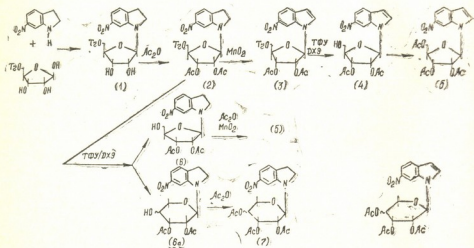
Цель настоящей работы состояла в дополнительной защите гуанозина по 6-О-кетогруппе для использования в олигонуклеотидном синтезе. Однако, с другой стороны, если под защитой 6-О-положения подразумевается его алкилирование, причем не лабильной в щелочных условиях п-нитрофенилэтильной группой, а незамещенными алкильными группами, само-свой разумеется, что такая «защита» может скорее рассматриваться как модификация основания, так как условия, используемые для полного деблокирования всех защитных групп, после завершения олигонуклеотидного синтеза, могут оказаться недостаточно жесткими для деблокирования введеной в 6-О-положение гуанина устойчивой к гидролизу алкильной группы. Таким образом, в составе синтезированного фрагмента ДНК гуанин будет 6-О-алкилирован. Такого рода модификация интересна тем, что алкилированный гуанин в составе НК образует комплементарную пару с урацилом вместо цитозина и является мутагенным и канцерогенным фактором [8—13].

Другой путь к получению неприродных аналогов нуклеотидов, модифицированных по гетероциклическому основанию — гликозилирование гетероциклов. Мы остановили выбор на рибозе и тридезаза-аналоге пурина — индоле, в частности, на его 6-нитропроизводном. Выбор последнего обусловлен высокой физиологической активностью индола и сравнительной стабильностью его 5- и 6-нитропроизводных.

В результате проделанной работы мы получили модифицированные по гетероциклическому основанию рибозиды: рибозиды 6-О-алкилгуанина, 6-нитрониндола и 6-нитронидолина. Конечная цель работы — фосфорилирование и исчерпывающая защита синтезированных нуклеозидов — получение полностью защищенных синтонов для фосфотриэфирного олигонуклеотидного синтеза; получение на их основе олигонуклеотидов и фрагментов ДНК, в виде отдельных звеньев полинуклеотидной цепи содержащих эти неприродные аналоги нуклеотидов.

Для 6-О-алкилирования гуанозина мы воспользовались методом [1]. Таким путем были синтезированы нитрофенилэтилированный (8) и миристилированный (10) в 6-О-положении 2-N-изобутирилгуанозин и продукты их исчерпывающего ацетилирования и изобутирилирования.

Для получения индолиного нуклеозида мы воспользовались, как указано выше, рибозилированием 6-нитроиндолина в составе нуклеозида [12], однако с тем отличием, что реакцию алкилирования индолина и его окисления осуществляли в условиях непрерывной отгонки в виде азеотропа с бензолом образующейся в результате реакции воды. Это смешает равновесие в сторону образования целевого продукта, сквозной выход которого на этих двух стадиях составил 65%. Без азеотропной отгонки воды реакция идет вяло и не до конца, нуклеозид получается с низким выходом и нуждается в хроматографической очистке от непрореагировавших углевода и гетероциклического основания в реакции алкилирования и от индолинового нуклеозида в реакции окисления последнего. Проведенные преобразования представлены на схеме 1.



Реакцию дегидрирования соединений (2) и (3) осуществляли, как описано в [13], кипячением их в 80%-ной уксусной кислоте, или, что значительно предпочтительней, при комнатной температуре 2%-ным раствором трифторуксусной кислоты в абсолютном дихлорэтане.

По аналогии с рибозидом (4), который, как указано выше, будет использован для получения синтона для фосфотриэфирного олигонуклеотидного синтеза, мы попытались синтезировать его дигидроаналог — рибозилиндолин. С этой целью мы воспользовались той же схемой превращений, как и в случае (4). Оказалось, однако, что дегидрированию (2) сопутствует изомеризация и изменение размера оксидного кольца рибозы. Рибофуранозилиндолин (6) был получен лишь в качестве побочного продукта, тогда как основной продукт дегидрирования представлял собой рибопиранозилиндолин (6а).

Сопоставление соединений (6) и (6а), их ПМР- и ¹³С-ЯМР-спектров (таблица 1) дает следующую картину: сигнал протона при C_{4'} в соединении (6а) изменяет величину химического сдвига и мультиплетность при ацетилировании гидроксильной группы при C_{4'}, на которой он щепится. Таким образом, при переходе от (6а) к (7) изменяется форма сигнала C_{4'}H, что указывает на пиранозную форму рибозы в (6а).

При ацетилировании и окислении (6) сигнал C_{4'}H изменяет лишь величину химического сдвига, мультиплетность же сигнала не меня-



ПМР - спектры синтезированных соединений

З.Г.Юсупов

З.Б.Садыков

С.А.Каримов

№	Ph	Нидол и индолин					CH ₃ (Ac)	Рибофлавин			
		C ₇ H	C ₈ H	C ₉ H	C ₉ H	C ₁₀ H		C ₁ 'H	C ₂ 'H	C ₃ 'H	C ₄ 'H (H ₁₀)
(2)		19 H	7,8 — 7,15		2,90(т) <i>J</i> _{pxz} 11,5Гц	3,64(т) <i>J</i> _{pxz} 11,5	2,087(с) 2,036(с)	5,57(с)	5,39	—	4,092 — 4,066(м)
(3)		19 H	7,80 — 7,24		6,60(д) <i>J</i> 3Гц	7,80 — 7,24(19H)	2,11(с) 1,97(с)	6,00 — 5,94(с) <i>J</i> _{pxz} 7Гц	5,63(н)	4,35 — 4,20 м 2 H	3,56(н)
(4)	—	7,30 <i>J</i> _{pxz} 2Гц	7,35(н) <i>J</i> _{pxz} 6Гц <i>J</i> _{pxz} 2Гц	7,28(т) <i>J</i> _{pxz} 6Гц	6,60(д) <i>J</i> 3Гц	7,40(т) <i>J</i> 3Гц	2,10(с) 2,00(с)	6,15(г) 1,5Гц	5,75(т) <i>J</i> _{pxz} = <i>J</i> _{pyz} 3,3Гц	5,35(т) <i>J</i> _{pxz} = <i>J</i> _{pyz} 3,3Гц	4,00н
(5)	—	—	—	—	—	—	2,10(с) 2,05(с) 1,89(с)	6,20(д) J 5,5Гц	—	—	4,18 —
(6.)	—	7,25 (широк. с.)	7,45(н) J 7Гц J 2,5Гц	7,15(д) J 7Гц	2,90(т) J 12Гц	3,60(т) J 12Гц	2,02(с) 1,94(с)	5,80(д) 1,6Гц	4,70(с) <i>J</i> _{pxz} 3Гц <i>J</i> _{pxz} 6Гц	5,06(н) <i>J</i> _{pxz} 3Гц <i>J</i> _{pxz} 6Гц	4,25(н) J _{pxz} 10Гц J _{pxz} 3Гц J _{pxz} 6Гц J _{pxz} 10Гц J _{pxz} 6Гц
(7)		—	—	—	—	—	2,02(с) 1,96(с) 1,90(с)	6,02(д) J 6Гц	5,00(н) J 3Гц J 6Гц	5,26 — 5,10 (м)	

Продолжение табл. 1

№	Группы и заместители при гуанине							Радикалы					
	C ₂ H	N ₂ H	O—CH ₂	O—CH ₂ —CH ₂	—CH ₂ — —CH ₂	— CH ₂ — CH ₂	2' [*] и 6' [*]	3' [*] и 5' [*]	C ₁ H	C ₂ H	C ₃ H	C ₄ H	C ₅ H (2H)
(8)	8,29(c)	8,00(c)	4,75(r)	3,25(r) J 7Гц	1,178(s) J 7Гц	2,742(s)	7,500(s) J 8,5Гц	8,075(s) J 8,5Гц	5,972(s) J 4,5Гц	4,399(t) J 3Гц	4,148(s) J 3Гц	4,524(t)	3,768(r)
(9)	8,43(c)	7,95(c)	4,80(r) J 8Гц	3,26(r) J 8Гц	1,20(s) 2H	2,54(s)	7,508(s) J 8,5Гц	8,120(s) J 8,5Гц	6,13 — 6,08(s) J 5Гц	5,90(s)	5,40 — 5,25		4,34 (шир. с.)
(10)	8,143(c)	7,888(c)	3,632 — 3,49! 2H	1,48(s) 2H	1,196 2SH+2H	2,542(s)			6,043(s) J 4,5Гц	5,892 — 5,768	4,534 — 4,380(s) J ₁ 8,5Гц J ₂ 2Гц	4,145 J ₁ 8,5Гц J ₂ 2Гц	3,632 — 3,491
(11)	8,09(c)	7,83(c)	4,60 — 4,63	1,450(s)	1,225 2SH+6H	2,80 — 2,50(r)			5,75(s) J 6Гц	4,60 — 3,63 3H O ₂ '(s')JH 3H	4,84(c) 3H O ₂ '(s')JH 3H		

ется. В то же время, при переходе от (6) к (5) меняется мультиплетность сигналов H_α и H_β , при C_5' . Это свидетельствует в пользу фуранозной формы рибозы в (6).

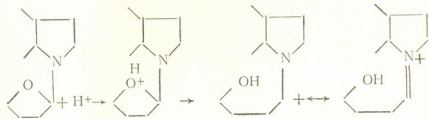
Прямыми доказательством пиранозной формы может служить величина химсдвига сигнала C_4' (таблица 2), который равен 70 м.д. в ^{13}C -ЯМР-спектре (6а), при том, что величина химсдвига C_4' в ^{13}C -ЯМР-спектре (5) составляет 80 м.д. [14, 15].

Таблица 2

^{13}C -ЯМР-спектры синтезированных соединений

№ соед.	C_2	C_3	C_4	C_5	C_6	C_7	C_8	C_9	C_1	C_2	C_3	C_4	C_5	$\text{O}=\text{C}-$	$\text{O}=\text{C}-\text{CH}_3$
(4)	130,0	104,6	120,9	115,9	143,5	106,9	134,0	134,0	86,3	73,5	71,2	83,0	61,9	—	20,8 20,6
(5)	125,0	104,8	121,1	116,1	—	106,9	—	129,2	86,8	73,3	70,7	80,2	63,2	—	29,9
(6а)	45,8 (т)	27,9 (т)	124,5 (з)	115,2 (д)	148,3 (с)	102,2 (д)	150,9 (с)	138,9 (с)	138,2 (з)	87,1 (д)	70,9 (д)	70,0 (д)	80,9 (д)	62,3 (т)	169,6 170,9 20,5 20,8
(9)	46,1	"	"	"	"	"	"	"	80,5	66,8	65,9	70,9	65,4	"	"

Изомеризация в условиях детритилирования индолинрибофуранозида (3) в индолинрибопиранозид (6а) обусловлена по всей видимости стабилизацией промежуточного карбкатиона сопряжением с неподеленной электронной парой азота индолина:



Не содержащей первичной гидроксильной группы (6а) не может быть избирательно блокирован тритицированием диметокситритилхлоридом и поэтому для синтеза олигонуклеотида интереса не представляет.

Попытка окислить (6а) в соответствующий рибопиранозилиндол двуокисью марганца в условиях, аналогичных использованным выше, привела к деструкции последнего. Окисление рибофуранозилиндолина (6) приводит к рибофуранозилиндолу (5).

Масс-спектры соединений представлены в таблице 3. Физико-химические константы всех синтезированных соединений представлены в таблице 4.

Экспериментальная часть

УФ-спектры соединений сняты на спектрофотометре «Specord» H - и ^{13}C -ЯМР-спектры записаны на спектрофотометре ЯМР «Tesla» с рабочей частотой 100 МГц. Масс-спектры сняты на масс-спектрометре

Масс-спектры синтетических соединений

No case	M , $M+H$, $M+2H$	M — SiMe_3	M — Me	M — Ac	M — BnNH	M — Ph-NO_2	M — $\text{C}_6\text{H}_4-\text{Ph}-$ ---NO_2	M — C_6H_4	M — OC_6H_4	" $M-30$ "	$M-89$	B , $B+H$, $B+2H$	$B+30$	S , $S+H$
(12)	450, 451 — 333 (- AcOH) 315	(- Ac) — (- AcOH)	435	—	—	—	—	—	—	331	—	161, 162	192	389, 290 (- SiMe ₃) 217
(13)	— 453 454	— (- Ac) 394 (- Ac, -AcOH) 334	(- Ac) — 350 (- Me, -AcOH) 334	(- AcOH) — 350 (- Me, -AcOH) 334	—	—	—	—	—	—	247	163	192	— 290
(14)	628 629	— — (- Ac) 569	613 614 (- Ac) 569	584 (- Me) 560 (- Ac) 542	542	507	479, 450 (- 2Me) 350	—	—	—	—	369, 370, 371	399	259 260
(15)	676 677 678	— — (- Ac) 617	663 — (- Me) 617 (- 3Ac) 375	— — — — —	(- 2Me, - 3Ac) 375	—	480	(- 2Me, - BnNH) 347	—	—	—	447	— 260	

Таблица 4

Некоторые характеристики синтезированных соединений

Название соединений	Т-ва выход, %	Т-ва, °C	R _f	Брутто-формула	Элементный анализ, %			Номер издания	
					Вычислено				
					C	H	N		
5'-О-третиат-β-D-рибофурозил-6-нитроиндолин	95		0,20 ^a 0,60 ^b	C ₁₂ H ₁₈ N ₂ O ₆	71,3755	5,5702	5,2045	71,3749 ^c 12,5732 ^c 13,2003	
5'-О-третиат-2',3'-ди-О-ацетил-β-D-рибофурозил-6-нитроиндолин	100		0,65 ^a 0,90 ^b	C ₁₈ H ₂₄ N ₂ O ₆	69,4534	5,4662	4,5016	69,4530 ^c 5,4681 ^c 4,4995	
5'-О-третиат-2',3'-ди-О-ацетил-β-D-рибофурозил-6-нитроиндол	70	120 — 145	0,62 ^a 0,90 ^b	C ₁₈ H ₂₄ N ₂ O ₆	69,6774	5,1613	4,5161	69,6789 ^c 5,1629 ^c 4,5002	
2',3'-ди-О-ацетил-β-D-рибофурозил-6-нитроиндол	85		0,30 ^a 0,55 ^b	C ₁₂ H ₁₈ N ₂ O ₆	53,9682	4,7619	7,4074	53,9698 ^c 4,7646 ^c 7,4149	
2',3',5'-три-О-ацетил-β-D-рибофурозил-6-нитроиндол	100		0,37 ^a фенил ^b	C ₁₈ H ₂₄ N ₂ O ₆	84,2857	4,7619	6,6667	84,2875 ^c 4,7630 ^c 6,6705	
2',3'-ди-O-ацетил-Ф-D-рибофурозил-6-нитроиндолин	15		0,27 ^a	C ₁₂ H ₁₈ N ₂ O ₆	55,6842	5,2632	7,3684	53,6865 ^c 5,2649 ^c 7,3769	
2',3'-ди-O-ацетил-Ф-D-рибофурозил-6-нитроиндолин	70	170 — 174	0,29 ^a	C ₁₂ H ₁₈ N ₂ O ₆	53,6842	5,2632	7,3684	53,6876 ^c 5,2646 ^c 7,3638	
2',3'-ди-O-ацетил-Ф-D-рибофурозил-6-нитроиндолин	100		0,40 ^a	C ₁₂ H ₁₈ N ₂ O ₆	54,0084	5,2133	6,6261	54,0305 ^c 5,2151 ^c 6,6397	
6-O-(п-нитрофенилэтоксигруппы)-2-N-изобутирил-гуанозин	70	106 — 109	0,45 ^a	C ₂₁ H ₂₆ N ₂ O ₆	54,6984	5,3279	14,3443	54,699 ^c 5,3293 ^c 14,350	
N',2',3',5'-тетраизобутирил-6-(п-нитрофенилэтоксигруппы)-гуанозин	80		0,80 ^a	C ₂₄ H ₃₂ N ₂ O ₁₁	58,3691	5,4378	39,7727	58,3703 ^c 6,4398 ^c 39,776	
6-О-миристил-2-N-изобутирил-гуанозин	75		0,85 ^a	C ₂₄ H ₃₂ N ₂ O ₆	62,8037	15,8878	10,467	62,8054 ^c 15,889 ^c 10,470	
N',2',3',5'-тетраизобутирил-6-О-миристил-гуанозин	60	130 — 131	0,47 ^a 0,90 ^b	C ₂₄ H ₃₂ N ₂ O ₆	64,4295	8,7248	7,5167	64,4301 ^c 8,7265 ^c 7,5197	
5'-триметилцилил-2',3'-ди-O-ацетил-β-D-рибофурозил-6-нитроиндолин			0,90 ^b						
4'-триметилцилил-2',3'-ди-O-ацетил-рибонуклеозил-6-нитроиндолин			0,90 ^b						
2',3',5'-три-O-ацетил-6-(п-нитрофенилэтоксигруппы)-2-N-изобутирил-гуанозин			0,75 ^b						
2',3',5'-три-O-ацетил-6-О-миристил-2-N-изобутирил-гуанозин			0,80 ^b						

5

^aR_f — камеры в системе растворителей: а) хлороформ-метан (4:1) б) хлороформ-метанол (9:1)

метре «Ribermag 10-10B» с разрешением 1000, чувствительностью 5 нг. Спектры сняты прямым вводом вещества в источник ионизации с программируемым нагревом 0—250° и энергией ионизирующих электронов — 70 эВ.

1. Получение активированной MnO₂

К раствору 35 г KMnO₄ в 200 мл воды по каплям и при перемешивании, нагревая на паровой бане, добавляли раствор 45 г MnSO₄ и 30 г NaOH в 100 мл воды. После завершения добавления держали на паровой бане еще 1 ч. Оставляли на ночь. Образовавшийся коричневый мелкодисперсный осадок MnO₂ отфильтровывали на стеклянном фильтре № 1 и многократно промывали дистиллированной водой до полного обесцвечивания и нейтральной реакции фильтрата. Сушили при 120° над P₂O₅, измельчали и хранили в герметически закрытой склянке.

1). В колбе 0,5 л, снабженной головкой ректификационной колонны, кипятили 39 ммол (15 г) 5'-тритил-рибозы с 42,5 ммол (7,04 г) 6-нитроиндолина в 250 мл системы: абсолютный этанол — бензол 1:1,5. Одновременно в виде азеотропа с бензolem отгоняли образующуюся в результате реакции воду. Реакционную смесь кипятили в течение 5 часов, трижды добавляя по 100 мл смеси абсолютных этанола и бензола и контролируя течение реакции по ТСХ.

Растворители отгоняли на вакуумном роторном испарителе, остаток — желтое масло — очищали адсорбционной хроматографией на 0,75 кг силикагеля L — 40—100, элюируя системой: четыреххлористый углерод — ацетон. Rf — и выход продукта конденсации указаны в таблице 3.

2). 36 ммол (19,36 г) (1) дважды упаривали с сухим пиридином, растворяли в 750 мл сухого пиридина и приливали 180 мл уксусного ангидрида. Реакционную смесь оставляли на ночь и на следующий день разлагали добавлением 100 мл воды. Держали 0,5 ч, упаривали, многократно доупаривали с толуолом и очищали на хроматографической колонке, содержащей 1 кг силикагеля.

(3). В двухгорлой колбе, снабженной ртутным затвором и головкой ректификационной колонны, при непрерывном перемешивании кипятили 12 ммол (7,46 г) (2) с 19 г свежеприготовленной MnO₂ в 200 мл абсолютного бензола в течение 4-х часов. Одновременно в виде азеотропа с бензolem отгоняли образующуюся в результате реакции воду. В течение этого времени добавляли сухой бензол (2×100 мл). Ход реакции контролировали ТСХ.

После завершения окисления реакционную смесь отфильтровывали на стеклянном фильтре № 1. Выделение вещества (3) осуществляли так же, как указано выше.

(4). 8 ммол (4,96 г) (3) растворяли в 20 мл сухого дихлорэтана. Добавляли 40 ммол трифтормукусной кислоты в виде 2%-ного раствора в сухом дихлорэтане. Реакционную смесь держали 20—30 с и нейтрализовали, добавляя избыток спирта или выливая в ледяной 5%-ный раствор бикарбоната натрия. Экстрагировали хлороформом или дихлорэтаном, сушили над безводным сульфатом натрия. Упаривали и подвергали хроматографической очистке.

(6), (6а). 20 ммол (12,44 г) (2) растворяли в 50 мл сухого дихлорэтана и добавляли 100 ммол трифтормукусной кислоты (2%-ный раствор). Обработку реакционной смеси проводили так же, как и в случае (4).

(5), (14), (15). Ацетилирование проводили как указано выше, действием Ac_2O в сухом пиридине.

(12), (13). Силилирование соединений (4) и (6) осуществили посредством перед масс-спектрометрическим анализом добавлением 10—20-кратного избытка бис- trimethylsilyl trifluoromethyltriaцетата к раствору вещества в хлороформе.

Тбилисский государственный
университет им. И. Джавахишвили

Поступило 20.06.88

୧. ତାଙ୍କରଙ୍ଗିଲାଦେଖି, ୨. କୋପକାଳିକୀ, ୩. କୁଳାଶରୀ, ୪. କପଳାମ୍ବି, ୫. ଲାହାରିପାତା,
ସେ. କାହାରେଣ୍ଡା, ୭. କାଷରିପାତା

6-0-2-ლიკილირებული განახლის და 1-რიცხვის-6-ნიტრონფრენის-და
მდგრადი სიცის უციცვალის და

๔๒๘

კვლევის საგანს შეადგენდა ნუკლეოზიდების არაბუნებრივი ანალოგების სინთეზი ღლივონუკლეოტიდურ სინთეზში მათი გამოყენების მიზნით. პოლი-ნუკლეოტიდურ ჭაჭვში ყალცული რგოლების სახით არაბუნებრივი, სინთე-ზუკლეოტიდური შემცველი ღლივონუკლეოტიდების და ღრმ-ის ფრაგ-ზური ნუკლეოტიდების შემცველი ღლივონუკლეოტიდების და ღრმ-ის ფრაგ-ზენტრების მისაღებად. ნაცადია სხვადასხვა ჰეტეროცილური ფუქსების არა-ბინომიური ქსილოზიდები, რიბოზიდები და დეზოქსირიბოზიდები, პირიმი-ლინგების და პურინების გლიკოზიდები.

ყურადღება შევაჩიროთ ჰურინის ტრილეზაზაანალოგის — ინდოლის (და მისი დაკიტორნაწარმის — ინდოლინის) რიბოზიდზე და მოვახდინეთ მისი სინთეზი ინდოლინის 5-ტრითიოლინბოზთ რიბოზილირებით. მიღებული 5'-ტრითიოლ-რიბოზილ-ინდოლინის MnO_2 -თ დაფანგვით და ტრილუროსტმარ-მეჟვით დეტრიათილირებით.

დადგენილია, რომ 5'-ტრითოლ-ჩიბოფურანოზილ-ინდოლის დეტრითოლირებით მიიღება სავარაუდო პროდუქტი — ჩიბოფურანოზილინდოლი; 5'-ტრითოლ-ჩიბოფურანოზილ-ინდოლინის დეტრითოლირებას კი თან სდევს ტრითოლ-ჩიბოფურანოზილინდოლინი მეტანი ან მეტანოლი. ჩიბოფურანოზილინდოლინი მიიღება ოქსიდური ციკლის ზომის ცელილებით. ჩიბოფურანოზილინდოლინი მიიღება მხოლოდ როგორც თანამდე პროდუქტი, მაშინ, როდესაც დეტრითოლირების ძირითადი პროდუქტია ჩიბოპირანოზილინდოლინი.

კინაიდან პირანზილი არ შეიცავს პირველად ჰიდროქსილს, შეტჩევითი და-
შეთვეულის მიზანით გამორჩეულად ერთ შეთვეულისირტებისას 5'-OH-ზე ივი არ წარმოქმნის გამორჩეულად ერთ
პროდუქტს და ამდენად ოლიგონუკლეობური სინთეზისათვის ინტერესს არ
შეაღებს.

რიბოპირანოზილინდოლინის შესაბამის რიბოპირანოზილინდოლში ანა-ლოგიურ პირობებში მანგანუმის დიოქსიდით დაფანგვა იწვევს ამ უკანასკნელის დესტრუქციას. რიბოფურანოზილინდოლინის დაფანგვას კი მიუყენათ რიბო-თურანოზილინდოლთან.

2-N-იზობუტირილ-გუანზინის 6-0-ალილირებით მიღებულია ნიტრო-ფენილირებული და მირისტილირებული 6-0-მდგომარეობაში 2-N-იზობუტირილგუანზინი.

სინთეზირებული შენაერთების აღნაგობა დამტკიცებულია პპ-ი, ^{13}C -პპ-ი და მას-სპექტრული ანალიზით.

THE SYNTHESIS OF 6-O-ALKILGUANOSINE AND
1-RIBOSIL-6-NITROINDOLE AND INDOLINE FOR PHOSPHOTRIESTER
OLIGONUCLEOTIDE SYNTHESIS

Summary

The object of the present investigation was the synthesis of artificial analogs of nucleotides and nucleosides for the purpose of their use in oligonucleotide synthesis to obtain oligonucleotides and DNA fragments, as single units of polynucleotide chain containing synthetic nucleotides. The nucleotides we tried were arabinosides, xylosides, ribosides and deoxyribosides of various heterocyclic bases, as well as purin glycosides.

In this work we chose ribosides of trideazaanalogs of purin-indole (and its dihydroderivative—indoline) and synthesised it by ribosilation of indoline by 5'-trityl-ribose with the following oxidation of the obtained 5'-trityl-ribosilindoline by MnO_2 and detritylation with trifluoroacetic acid. But it turned out, that detritylation of 5'-trityl-ribofuranosilindoline is attended by isomerisation, leading to the alteration of the ribose oxide ring size. Thus, ribofuranosilindoline was obtained as a by-product, of the reaction, whereas the main product—was ribopiranosilindoline.

Having no primary hydroxyl group, piranoside does not form a single product of selective dimethoxytritylation of 5'-OH, and is of no interest for oligonucleotide synthesis.

The attempt to oxydise ribopiranosilindoline into ribopiranosilindole with manganese dioxide in the similar conditions, resulted in destruction of the last. Oxidation of ribofuranosilindoline led to ribofuranosilindole.

Nitrophenylated and myristilated in 6-0-position 2-N-isobutyrylguanosine was obtained by 6-0-alkylation of 2-N-isobutyryl-guanosine.

The structure of the synthesised compounds was proved by PMR, ^{13}C -NMR and mass-spectra analysis.

ЛІТЕРАТУРА — REFERENCES

1. Gaffney B. L., Jones P. A. Tetrahedron Lett., 1982, 23, 2253.
2. Walker R. T., Clercq E., Eckstein F. Nucleoside Analogues, Biology, Chemistry and Molecular Applications, Plenum Press, New York, 1979.
3. Harmon R. E., Robins R. K., Townsend L. B. Chemistry and Biology of Nucleosides, and Nucleotides Academic Press, New York, 1978.
4. Hall R. H. The Modified Nucleosides in Nucleic Acids, Columbia Univ. Press, New York, 1971.
5. Agar P. F. The Modified Nucleosides of Transfer RNA, A. R. Liss, New York, 1980.
6. McCloskey J. A., Nishimura S. Acc. Chem. Res., 1977, 10, 403.
7. Hall R. H., Dunn D. B. Natural Occurrence of the Modified Nucleosides, Handbook of Biochemistry and Molecular Biology, CRC Press, Cleveland, 1975.

8. Cairns J. Nature (London), 1981, **289**, 353.
9. Mehta J. B., Ludlum D. B. Bioch. et Biophys. Acta, 1978, **521**, 770.
10. Schendel P. F., Robins P. E. Proc. Nat. Acad. Sci., USA, 1978, **75**,
6017.
11. Gerchman L. L., Ludlum D. B. Bioch. and Biophys. Acta, 1973, **308**, 310.
12. Singer B. Nature (London), 1976, **264**, 333.
13. Муханов В. И., Миникер Т. Д., Преображенская М. Н. ЖОРХ,
1977, **13** (1), 214.
14. Voelter W., Breitmaier E. Org. Magn. Reson., 1973, **5**, 311.
15. Breitmaier E., Voelter W., Jung C., Tanzer C. Chem. Ber.,
1971, **104**, 1147.
-

УДК 557.556.3 : 677.51

Н. П. МХЕИДЗЕ, П. Н. АПХАЗАВА, Г. Г. ЧИРАКАДЗЕ

ПОЛИЯДЕРНЫЕ АРОМАТИЧЕСКИЕ ОРГАНОКРЕМНЕЗЕМЫ И АЗОКРАСИТЕЛИ НА ИХ ОСНОВЕ

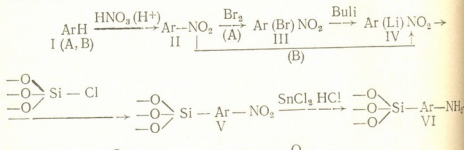
Ранее были синтезированы органокремнеземы различного состава [1-3].

Настоящая работа посвящена получению новых флуоренил-флуорентилкремнеземов с целью расширения цветовой гаммы и модификации свойств окрашенных кремнеземов.

Иммобилизация к поверхности кремнезема фрагментов флуорита и флюорантена осуществлена с использованием их литийпроизводных, которые синтезированы по модифицированной методике [2].

Известно, что полиядерные ароматические фрагменты, в частности, флуоренил и флуорантин, являются удобной матрицей для введения различных функциональных групп, позволяющих на их основе синтезировать различные по строению красители и пигменты [4].

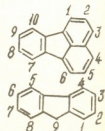
Общая схема синтеза новых азокрасителей и азопигментов представлена на схеме:



где A — флуорентил (A)

и флуоренил (B)

АК — азокомпонент



АК: β -нафтол (VIII-А), Н—кислота (IX-А, X-В), α —нафтиламин (XI-А) нафтионовая кислота (XII-А, XIII-В), индол (XIV - В), м—аминоферол (XV-В), флуоресцеин (XVI-В).

Состав и строение промежуточных и конечных продуктов изучены и подтверждены различными методами анализа, включающими, наряду с ранее использованными [1—3], модифицированный метод УФ-спектроскопии [5], который позволяет изучать спектры поглощения синтезированных на поверхности силикагеля азокрасителей и азотпигментов. В качестве рабочего растворителя для исследуемых органических ненасыщенных соединений использован глицерин, высокая вязкость которого и близкие значения коэффициента преломления с таковым для диспергируемых частиц ($n_D^{20} = 1,474$ и $n_D^{20} = 1,41$) позволяют получать стабильные на время снятия спектров суспензии довольно крупных частиц (вплоть до $r=0,01$ см).

Экспериментальная часть и обсуждение результатов

В работе использованы: силикагель марки L 40/100, перекристаллизованные из этанола флуорантен — ($M=202$, $T_{\text{пл}}=110^\circ$) и флуорен ($M=166$, $T_{\text{пл}}=116^\circ$), глицерин х.ч.

Синтез 3-нитрофлуорантина (II-А)* и 2-нитрофлуорена (II-В)

К раствору 24,2 г (0,12 М) флуорантена в 800 мл ледяной уксусной кислоты в течение 1 ч при перемешивании и охлаждении (температура не должна превышать 20°) последовательно прибавляют 17,6 г меланжа (1,1 мл HNO_3 , $\rho=1,506$ и 10,6 мл H_2SO_4 , $\rho=1,828$) и 12 мл раствора моногидрата в 30 мл ледяной уксусной кислоты. Затем смесь перемешивают 3 ч при $15-18^\circ$. Выпавшие кристаллы отфильтровывают, тщательно промывают водой (600—700 мл) и сушат при $70-80^\circ$. Перекристаллизовывают из смеси бензол-пропиловый спирт (3:2). Выход 60%; $T_{\text{пл}}=130-134^\circ$; $R_f=0,7$ (бензол); $M=247$. Вычислено, %: С—77,2; Н—3,67; Н—5,66; Найдено, %: С—77,59; Н—4,16; Н—18,25. ИК, $\nu \text{ см}^{-1}$: 760, 780, 1610, 2890, 2930 (Ar), 1525, 1335 (C—NO₂).

2-нитрофлуорен (II-В) получают из флуорена по методу [7]. Выход 65%, $T_{\text{пл}}=156^\circ$, $R_f=0,8$ (бензол), $M=211$. Вычислено, %: С—73,92; Н—4,25; Н—6,63. Найдено, %: С—55,45; Н—4,92; Н—6,51. ИК, $\nu \text{ см}^{-1}$: 760, 865, 1610, 2870, 2970 (Ar); 1340, 1520 (C—NO₂).

Синтез 3-нитро-9-бромфлуорантина (A-III)

К 7,4 г (0,03 М) соединению (A-III) в 50 мл нитробензола добавляют по каплям при температуре 70° в течение 0,5 ч 11,2 г (0,07 М) брома в 4 мл нитробензола. Раствор перемешивают при температуре 70° в течение 20 ч. Осадок отфильтровывают, промывают этанолом, раствором сульфита натрия, водой. Выход 75%, $T_{\text{пл}}=210-217^\circ$. Вычислено, %: С—58,92; Н—2,47; Н—4,29; Br—24,5. Найдено, %: С—58,42; Н—2,7; Н—3,98; Br—17,16. ИК, $\nu \text{ см}^{-1}$: 760, 780, 1610, 1290, 2930 (Ar); 1525, 1335 (C—NO₂), 580 сл, 620 ср. (C—Br).

* Нумерация соединений по вышеприведенным формулам (A, B).

Литирование 3-нитро-9-бромфлуорантена (III-А) и
3-нитрофлуорена (II-В) и их иммобилизация
на поверхности силикагеля



К 4,3 г (0,06 М) свежеприготовленного бутиллития в 50 мл абсолютного эфира при температуре 10—15° добавляли 3 г (0,01 М) III-А в 100 мл абсолютного эфира. Реакционную смесь перемешивали в течение 1,5 ч в среде азота. Затем раствор разбавляли тексаном (1:1) и добавляли 20 г хлорированного силикагеля, полученного по методике [1]. Смесь нагревали до 60° при энергичном перемешивании до исчезновения фиолетовой окраски литийпроизводного нитрофлуорантена (IV-А). Избыток (IV-А) удаляли добавлением 50 мл этанола, осадок отфильтровывали и тщательно промывали этанолом (100 мл), ацетоном (100—200 мл), водой многократно. Соединение (V-А) сушили в течение 1 ч при T=60°/3,2 кПа.

(V-В) получают аналогично.

Содержание органических фрагментов в полученных органокремнеземах (V-А, V-В) вычислено по формуле $W = c(M-1)/a$, где W — содержание органического вещества в органокремнеземах, %; c — масса углерода по данным элементного анализа; M — молекулярная масса привитого вещества; a — масса атомов углерода в привитом соединении [6]. W=1,73% для (V-А). W=5,11% для (V-В).

Можно предположить, что на количество привитых фрагментов на единицу матрицы влияет их объемный фактор.

Полученные по модифицированной методике [8] амины (VI-А, В) диазотировали и сразу же сочетали с различными АК (табл. 1).

Таблица 1

Привитые к поверхности кремнезема азокрасители и их свойства

Диазокомпонента	Азокомпонента	Цвет	$\lambda_{\text{пл}}/\text{нм}$
	β-нафтол Н-кислота α-нафтиламин Нафтионовая кислота	оранжевый серый фиолетовый розовый	490 580 500 400 520
	Н-кислота Индол М-аминофенол нафтионовая кислота флуоресценция	сиреневый ярко-розовый желтый коричневый лимонно-желтый	560 550 420 300 440 450

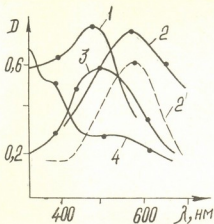


Рис. 1. УФ-спектры поглощения окрашенного флюорилкремнезема (—) и индивидуальных азокрасителей (—). 1—(VIII—A), 2—(IX—A), 3—(XI—A), 4—(XII—A)

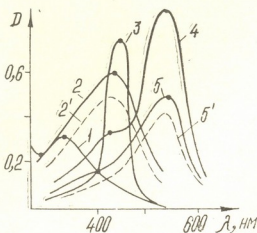


Рис. 2. УФ-спектры поглощения окрашенного флюорилкремнезема (—) и индивидуальных азокрасителей (—). 1—(XIII—B), 2—(XV—B), 3—(XVI—B), 4—(X—B) и 5—(XIV—B)

Спектральная характеристика полученных красителей приведена на рисунках 1, 2. Анализ УФ-спектров поглощения позволяет заключить, что структура красителей, иммобилизованных на поверхности силикагеля, не отличается от модельных красителей.

Испытание устойчивости окраски полученных окрашенных кремнеземов (VIII—XVI) проведено по ГОСТу 9733.0-83-ГОСТ 9733.27-83 (СТ СЭВ 4690—84, СТ СЭВ 4691—84).

С целью подтверждения наличия химической связи между Si и С ароматическим, окрашенные образцы промывали пиридином. Использованные результаты подтверждают высокую светостойкость окрашенных образцов, которые могут быть использованы в строительстве.

Грузинский технический университет

Поступило 06.12.88

6. Տեղական պատրաստություն, թ. Առնաշենքի համար՝ 3.

კოლეგიანთა უსახლის მიერ განვითარებული და განვითარებული არის აუცილებელი მართვის მიზანი.

၁၃၀၇

მიღებულია ახალი ორგანისოლიკაგელები, რომლებიც შეიცავენ არაორგანული მატრიცის Si; ატომებთან ქიმიურად ბმულ ფლუორენისა (I) და ფლუორანტურენის (II) ფრაგმენტებს. (I) და (II)-ზე ქიმიური გარდაქმნების გზით მიღებულია დიაზოკომპონენტები, რომელთა შეცდლებით წ-ნაფტოლთან, H-მეთასისთან, ინდოლთან, მ-ამინოფენოლთან, ფლუორესცეინთან და ნაფტონმეთასთან სინთეზირებულია აზოსაღებრები, რომლებიც ხსიათდებიან ფერთა ფართო გამით, შუქმედეგობით და სხვადასხვა სველი დამუშავებისადმი მდგრადობით. დაღვენილია სილიკაგელის ზედაპირზე რაოდენობრივად იმობილიზებული ფრაგმენტების რიცხვი, ტოლი 5,11% (I) და 17,3% (II). შესწავლილია შეფერილი სილიკაგელის უი სპექტრი, რომელიც აღსატურებს ბმული აზოსაღებრების აღნავობას.

N. P. MKHEIDZE, P. N. APKHAZAVA, G. G. CHIRAKADZE

POLYCYCLIC AROMATIC ORGANOSILICA GELS AND AZO DYES ON ITS BASE

Summary

The new organosilica gels, containing fragments of fluorene (I) and fluoranthene (II) chemically bonded with atoms of silicon of inorganic matrix have been synthesized.

The consecutive reactions have been conducted on them and diazo components have been obtained.

The new azo-dyes have been synthesized by coupling of β -naphthol, H-acid, indole, m-aminophenol, fluoresceine and naphthionic acid with diazo components.

The obtained azo dyes are characterized by colour variety, light resistance, and fastness to wet treatment.

The quantity of immobilised fragments on the surface of silica gel was equal to 5.11 (I) and 1.73% (II).

The structure of grafted azo dyes has been confirmed by UV spectra.



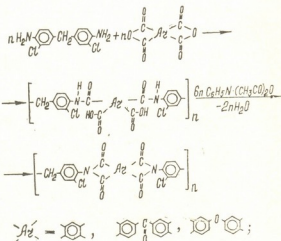
1. Чиракадзе Г. Г., Лонгурашвили Н. Т., Мхеидзе Н. П. А.с. № 1310413, Б.И., № 19, 1987.
 2. Мхеидзе Н. П., Лонгурашвили Н. Т., Каркусашвили Т. Г. Тезисы докладов Республиканской конференции молодых химиков, посвященной 70-летию Великого Октября, Сухуми, 1987, с. 72.
 3. Chirakadze G. G., Mkhcheidze M. S., Vardosanidze G. O., Longurashvili N. T. Colorchem' 88, CSSR, Pardubice, 1988, p. 162—164.
 4. Клар Э. Полициклические углеводороды (перевод с англ.) М.: Химия, 1971.
 5. Филипов А. П., Карпенко Г. А. Теоретическая и экспериментальная химия, 1978, т. 14, № 3, с. 419—423.
 6. Староверов С. М., Никитик Ю. С., Лисичкин Г. В. Журнал физической химии, 1982, т. 56, № 11, с. 2813.
 7. Топчиев А. В. Нитрование углеводородов и других органических соединений. М.: АН СССР, 1956, с. 59—62.
 8. Ворожцев Н. Н. Основы синтеза промежуточных продуктов и красителей. М.: ГНТИ химической литературы, 1955, с. 419—438.
-

УДК 678.675

В. В. КОРШАК, А. Л. РУСАНОВ, Ю. Н. МАРГАЛИТАДЗЕ, С. Х. ФИДЛЕР,
 М. Г. ГВЕРДЦИЕЛИ, Г. В. КАЗАКОВА, Н. З. МАХАРАШВИЛИ, Д. С. ТУГУШИ

РАСТВОРИМЫЕ АРОМАТИЧЕСКИЕ ПОЛИИМИДЫ НА ОСНОВЕ 3,3'-ДИХЛОР-4,4'-ДИАМИНОДИФЕНИЛМЕТАНА

Ароматические полииимида, являющиеся продуктами взаимодействия ароматических диаминов с диангидридами ароматических тетракарбоновых кислот [1—3], являются наиболее широко распространенными представителями термостойких гетероциклических полимеров. В качестве мономеров и, в частности, ароматических диаминов, для получения полииимидов использован большой набор соединений карбоциклического [1—4] и гетероциклического [5] рядов, однако лишь немногие из этих диаминов являются доступными или выпускаемыми в значительных количествах продуктами. Это положение представляется особенно справедливым применительно к мономерам для получения полииимидов со специальными свойствами — повышенной огнестойкостью [6], растворимостью в органических растворителях [7]



и т. д. В связи со всем вышеупомянутым, представляется труднообъяснимым незначительный интерес исследователей к использованию для получения полииимидов 3,3'-дихлор-4,4'-диаминодифенилметана — продукта взаимодействия о-хлоранилина с формальдегидом, широко используемого в качестве отвердителя эпоксидных олигомеров [8]. Единственное упоминание в периодической литературе об использовании этого диамина для получения полииимидов [9] связано с осуществлением взаимодействия его с диангидридами ароматических тетракарбоновых кислот в среде диполярных аprotонных растворителей с последующей термической имидизацией полученных т. о. поли(о-кар-

бокси) амидов. Синтезированные т. о. полиимиды не растворялись в органических растворителях.

Нами была предпринята попытка осуществления синтеза полиимидов на основе 3,3'-дихлор-4,4'-диаминодифенилметана и диангидридов ароматических тетракарбоновых кислот в соответствии со схемой с применением процесса химической поликлинизации, включающей мягкое взаимодействие 3,3'-дихлор-4,4'-диаминодифенилметана с диангидридами ароматических тетракарбоновых кислот в среде диполярных аprotонных растворителей и последующую имидизацию полученных поли(о-карбокси)амидов непосредственно в реакционных растворах с применением циклизующего комплекса пиридиния с уксусным ангидридом (1:1) [2—4].

3,3'-дихлор-4,4'-диаминодифенилметан очищали перекристаллизацией из изопропанола; т. пл. 105—106°; лит. т. пл. 104—106° [10].

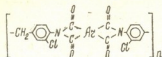
В качестве диангидридов тетракарбоновых кислот были использованы соответствующие производные пиromеллитовой, 3,3',4,4'-бензофенонитетракарбоновой и 3,3',4,4'-дифенилоксидтетракарбоновой кислот, очищенные в соответствии с [11], а в качестве растворителей — N,N-диметилформамид (ДМФА), N,N-диметилацетамид (ДМАА) и N-метил-2-пирролидон (N-МП). Синтез полиимидов осуществлялся в соответствии со следующей общей методикой: в четырехгорловую реакционную колбу, снабженную мешалкой, вводом и выводом для аргона и загрузочной воронкой, помещали 0,01 моля 3,3'-дихлор-4,4'-диаминодифенилметана и 43 мл свежеперегнанного растворителя. К полученному раствору при перемешивании в токе инертного газа прибавляли 0,01 моля диангидрида тетракарбоновой кислоты в виде тонконизмельченного порошка. Реакционную смесь перемешивали в течение 6 ч, а на следующий день вводили в нее 0,06 моля (3-кратный избыток) комплекса пиридиния с уксусным ангидридом, и смесь нагревали до кипения в течение 6 ч, после чего охлаждали ее до комнатной температуры и переносили в 10-кратный объем воды. Выделившийся полиимид отфильтровывали, тщательно промывали водой, экстрагировали ацетоном и сушили в вакууме при 100°.

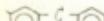
Реакции синтеза полиимидов на основе диангидридов 3,3',4,4'-бензофенонитетракарбоновой и 3,3',4,4'-дифенилоксидтетракарбоновой кислот протекали во всех растворителях от начала до конца в гомогенных условиях, тогда как реакции с участием пиромеллитового диангидрида протекали в разных растворителях по-разному. В среде ДМАА и ДМФА синтез поли(о-карбокси)амида протекал гомогенно; прибавление циклизующей смеси сопровождалось выделением полимера и весь процесс химической циклизации протекал гетерогенно. Интересные отклонения от обычно наблюдаемых явлений были отмечены при проведении процесса в среде N-МП; при этом синтез поли(о-карбокси)амида протекал гетерогенно, а имидизация сопровождалась растворением полимера с достижением полной гомогенности реакционной массы, не меняющейся с охлаждением реакционного раствора. Возможно, наблюдаемая нами аномалия нерастворимости поли(о-карбокси)амида связана с ограниченным конформационным набором этих полимеров, аналогичным отмеченному ранее применительно к полиарилатам на основе 2,2-ди(3-хлор-4-оксифенил)пропана [12].

Строение синтезированных полиимидов было подтверждено данными ИК-спектроскопии и элементного анализа. В частности, ИК-спектры полиимидов содержат максимумы поглощения в областях 1780 и 1720 cm^{-1} (C=O имида), 1380 cm^{-1} (третичный атом) и 720 cm^{-1} , приписываемые пятичленным имидным циклам [2].

Синтезированные полиимиды растворялись на холода в N-МП, ДМАА, ДМФА, диметилсульфоксиде, смеси тетрахлорэтана с фенолом (3:1) и м-крезоле. Вязкостные характеристики растворов и термические характеристики полимеров приведены в таблице.

Некоторые характеристики полиимидов общей формулы



	Растворитель при синтезе	$\tau_{\text{прив}}$	$T_{\text{разм.}}^{\text{*}}, ^\circ\text{C}$	$T_{\text{разл.}}^{\text{**}}, 10\%, ^\circ\text{C}$	КИ***
	N—МП DMAA ДМФА	1,36 0,71 0,47	300	500	48,4
	N—МП DMAA ДМФА	0,47 0,38 0,90	245	480	55,8
	N—МП DMAA ДМФА	0,19 0,19 0,19	225	500	58,4

Существенно лучшая растворимость этих полиимидов по сравнению с аналогичными полимерами, синтезированными термической твердофазовой циклизацией [9], обусловлена мягкими условиями химической циклизации, как было отмечено ранее применительно к различным классам полигетероариленов [13—15].

Таким образом, хорошая растворимость синтезированных полипиридидов в амидных растворителях в сочетании с высокими огне-, теплостойкостью и термостойкостью (таблица 1) открывает возможность их практического использования.

Тбилисский государственный университет им. И. Джавахишвили

Поступило 25.09.87

3. କମରିପୁର, 4. ଲେଶାନ୍ତାଳୀ, 5. ପାରଣାଲୀପାଦାରି, 6. ଆଗଣ୍ଡାରୀ, 7. ହୃଦୟଜିଲ୍ଲାପାଲୀ,
8. ପ୍ରାଚୀକର୍ମା, 9. ପାନାରାଜବିଲ୍ଲାପାଲୀ, 10. ଶୁଦ୍ଧାରୀ

საქართველოს კონსისტორიუმის 3,3%-ის დოკუმენტი - მინიჭებული დოკუმენტი

ეგთანის საფუძვლის

Page 3

სინოეზირებულია ორგანულ გამზენელებში სსნადი მაღალმოლექცულური მასის მექონ პოლიმიდების არმატული ტეტრაკარბონის მეთების დიანზილ-ლიიდების და 3,3'-დიქლორ-4,4'-დიამინოლიფენილმეთანის საფუძველზე.

* Определены по термомеханическим кривым.

** Определены по кривым динамического ТГА по потере 10% массы при нагреве на воздухе со скоростью подъема температуры $4,5^{\circ}\text{C}/\text{мин}$

** Кислородные индексы, характеризующие огнестойкость полимеров, определены Б. Б. Серковым (Высшая техническая инженерная пожарная школа, г. Москва).

სინთეზირებული შუალედური და საბოლოო პოლიმერული პროდუქტების აღნაგობა დადგენილია იწ. სპექტროსკოპით და ელემენტური ანალიზით. შესწავლილია პოლიმერების ძირითადი თვისებები და ნაჩვენებია, რომ სინი ხასიათდებიან მაღალი სითბო-, თერმო- და ცეცხლმედეგობით, გარე ხსნადობით ორგანულ გამსხნელებში და მაღალი სიბლანტით.

V. V. KORSHAK, A. L. RUSANOV, Yu. M. MARGALITADZE, S. Kh. FIDLER
M. G. GVERDTSITELI, G. V. KAZAKOVA, N. Z. MAKHARASHVILI, D. S. TUGUSHI

SOLUBLE AROMATIC POLYIMIDES ON THE BASE OF 3,3'-DICHLORO-4,4'-DIAMINODIPHENYLMETHANE

Summary

Polyimides with high molecular weight and soluble in organic solvents were obtained on the base of aromatic tetracarboxylic acid dianhydrides and 3,3'-dichloro-4,4'-diaminodiphenylmethane—the product of interaction of o-chloroaniline with formaldehyde. The latter is widely used as a curing agent for the epoxy resins.

The synthesis of polyimides was realized by interaction of monomers under the condition of low-temperature polycondensation in the medium of amidic solvents with the following chemical cyclization of the obtained poly(o-carboxy) amides in the presence of the mixture of pyridine with acetic anhydride at the boiling of the reaction mixture.

The structure of all synthesized intermediates and final polymeric products has been confirmed by the data of IR-spectroscopy and elementary analysis.

All the synthesized polyimides are characterized by high thermostability and flame-resistance.

ლიტერატურა — ЛИТЕРАТУРА — REFERENCES

1. Коршак В. В., Термостойкие полимеры. М.: Наука, 1969.
2. Адрова Н. А., Бессонов М. И., Лайус Л. А., Рудаков А. П., Полиимиды — новый класс термостойких полимеров. Л.: Наука, 1968.
3. Бессонов М. И., Котон М. М., Кудрявцев В. В., Лайус Л. А. Полиимиды — класс термостойких полимеров. Л.: Наука, 1983.
4. Sgroog C. E., J. Polym. Sci. Macromol. revs., 1976, v. 11, p. 161.
5. Русанов А. Л., Батиров И., Усп. химии, 1980, т. 49, № 12, с. 2418.
6. Жубанов Б. А., Алмабеков О. А., Кравцова В. Д., В сб.: Химия и физика высокомолекулярных соединений. А.—А.: Наука, Казах. ССР, 1981, ч. 14, т. 55, с. 29.
7. Clair T. L. St., Clair A. K. St., Smith E. N. ACS Polymer Prepr., 1976, v. 17, N. 2, p. 359.
8. Пакен А. М., Эпоксидные соединения и эпоксидные смолы. ГНТИ хим. лит., Л., 1962.

9. Котон М. М., Романова М. С., Лайус Л. А., Сазанов Ю. Н. Фе-
дорова Л. Г. ЖПХ, 1980, т. 53, с. 1591.
10. Мауег М. Вег., 1914, В. 47, с. 1161.
11. Мономеры для поликонденсации. П/р Дж. К. Стилла и Т. В. Кембелла. М.
«Мир», 1976.
12. Коршак В. В., Бабушкина Т. А., Васнецов В. А., Виноградова С. В.,
Васильев А. В., Семин Г. К. Изв. АН СССР, сер. хим., 1970, с. 1921.
13. Коршак В. В. Усп. химии, 1982, т. 51, № 12, с. 2096.
14. Коршак В. В., Русанов А. Л., Тугуши Д. С. Усп. химии, 1981, т. 50,
№ 12, с. 2250.
15. Kogshak V. V., Rusanov A. L., Tugushi U. S. Polymer, 1984,
v. 25, p. 1359.



УДК 542.91 : 547.1'128

М. Г. КАЦИТАДЗЕ, Л. И. НАКАИДЗЕ, В. В. КАЗАКОВА, Т. В. ЧОГОВАДЗЕ,
Л. М. ХАНАНАШВИЛИ

НЕКОТОРЫЕ ПРЕВРАЩЕНИЯ ТРИЦИКЛОДЕЦЕНИЛАМИНО- СИЛАНОВ И ТРИЦИКЛОДЕЦЕНИЛСИЛАЗАНОВ

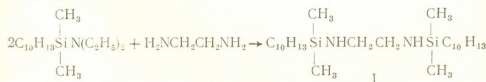
Ранее сообщалось [1, 2] о синтезе линейных и циклических органосилоксанов с трициклоценильными радикалами у атома кремния. В работе [3] изучались реакции аммонолиза и аминолиза органотрициклоцененилхлоросиланов, в результате чего были выделены и охарактеризованы соответствующие аминосиланы и силазаны с трициклоцененильными радикалами у атома кремния.

Данная работа посвящена исследованию некоторых химических превращений органоаминосиланов и органосилазанов с трициклоцененильными радикалами у атома кремния.

В поисках путей получения новых мономеров, интересных для синтеза полимеров со связью Si—N, нами исследованы реакции переаминирования, каталитической конденсации и дегидроконденсации, а также гетерофункциональной конденсации с участием вышеуказанных аминосиланов и силазанов.

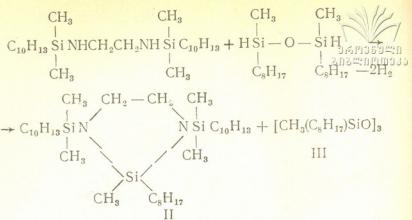
Некоторые из этих реакций (в частности, переаминирование), дают возможность синтезировать индивидуальные кремнийазотсодержащие соединения со стерически объемными заместителями, которые трудно получить реакциями аммонолиза и аминолиза.

Исследование реакции переаминирования диметилтрициклоцененилдиэтиламиносилана этилендиамином показало, что переаминирование протекает довольно легко при температуре 100° в течение 3 ч и приводит к получению в основном (82%) бис(диметилтрициклоцененилиламино)этана:

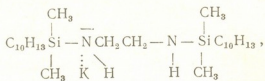


Представляло интерес изучить реакцию каталитической дегидроконденсации соединения I с органосиланами, так как в результате этой реакции возможно образование гидролитически устойчивых гетероциклических соединений, содержащих третичный атом азота в цикле.

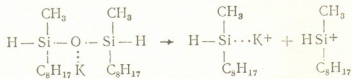
Реакцию дегидроконденсации I с 1,3-диметил-1,3-диоктилдисилоксаном проводили при 130—150°C в присутствии 1% металлического калия (от массы исходных компонентов). Изучение состава и свойств выделенных в результате этой реакции продуктов показало, что процесс протекает сложно, и вместо ожидаемого циклоаминокарбодисилоксана образуются 52% N,N'-бис(диметилтрициклоцененил)метилоктилсилилдиазол(II) и 47% 1,3,5-трис(метилютил)циклотрисилоксан(III). Следовательно, реакция протекает по схеме:



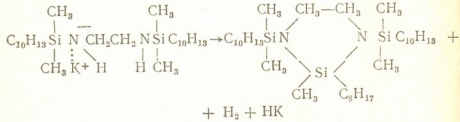
Протекание этой реакции по вышеуказанной схеме свидетельствует о том, что, видимо, в ходе этого процесса нуклеофильная частица металлического калия атакует не только атом азота в исходном аминокарбосилане, образуя промежуточный активный комплекс



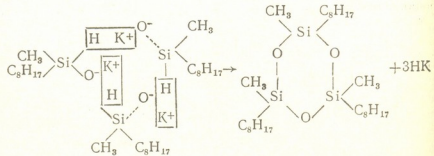
но и силоксановую связь в дисилоксане, расщепляя ее по схеме:



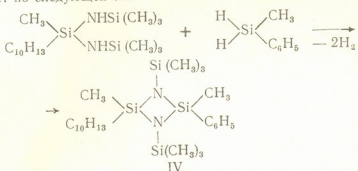
Образовавшийся промежуточный активный комплекс реагирует метилоктилсилильной группой, образуя соединение II:



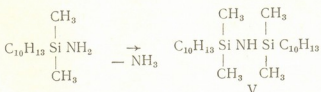
а образование III происходит за счет тримеризации метилоктилсилацетата калия:



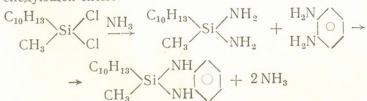
Каталитической дегидроконденсацией бис(триметилсилиамино)метилтрициклогексенилсилана с метилфенилдигидридосиланом при мольном соотношении исходных компонентов 1:1 при 130—150°C в присутствии металлического калия (в количестве 1% от массы исходных соединений) выделен циклодисилазан, содержащий в своем составе атомы азота, связанные с тремя атомами кремния. Анализ выделенного продукта — N,N'-бис(триметилсилил)-1-(метилфенилтрициклогексенил)-3-(метилфенил)циклодисилазана (IV) показывает, что реакция протекает по следующей схеме:



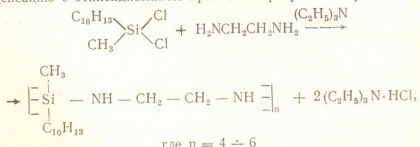
Катализитической конденсацией диметилтрициклогексениламиноси-
лана (в присутствии 1% металлического калия) при 250°C был полу-
чен 1,1,3,3-тетраметилбис(трициклогексенил)дисилазан(V) по следую-
щей схеме:



При конденсации метилтрициклогексенилдиаминосилана с ортофенилендиамином при температуре 80—90°C наблюдается интенсивное выделение аммиака с образованием метилтрициклогексенилдиизосилилдиазола по следующей схеме:



Все попытки получить вышеуказанный продукт гетерофункциональной конденсацией метилтрициклодеценилдихлорсилана с ортофенилендиамином не увенчались успехом, тогда как тот же метилтрициклодеценилдихлорсилан легко вступает в гетерофункциональную конденсацию с этилендиамином при 60° в присутствии триэтиламина:



Синтезированные соединения (I—VII) сравнительно вязкие жидкости желтоватого цвета, хорошо растворимые в органических растворителях.

Строение синтезированных соединений подтверждено ИК-спектрами ЯМР-Н-спектрами, а их элементный анализ и выход приведены в табл. 1.

Таблица 1

Характеристика синтезированных соединений

Соед.	Выход, %	Т кип., °C р. мм рт. ст.	Вычислено, %				Брутто-формула	Найдено, %			
			C	H	Si	N		C	H	Si	N
I	82	225 / 1	71,15	10,12	12,34	6,38	$C_{26}H_{44}Si_1N_2$	70,45	9,89	11,94	6,09
II	52	265—267 / 1	71,09	10,42	13,74	4,73	$C_{25}H_{42}Si_2N_2$	70,92	10,12	13,45	5,09
III*	47	204 / 1	63,56	11,78	15,8		$C_{27}H_{46}Si_3O_3$	63,15	10,95	16,25	
IV	58	185—186 / 1	61,2	9,0	23,8	5,9	$C_{24}H_{42}Si_1N_2$	60,97	9,10	23,74	5,97
V	60	202 / 1	72,47	9,90	14,10	3,52	$C_{24}H_{39}Si_2N_1$	72,42	9,83	14,03	3,77
VI	50	205 / 1	73,05	7,23	9,69	10,02	$C_{17}H_{20}Si_1N_2$	72,89	7,05	10,15	10,25
VII	75	—	66,87	9,5	11,6	12,0	$C_{13}H_{22}Si_1N_2$	66,35	9,08	10,85	11,65

Экспериментальная часть

ИК-спектры сняты на двухлучевом инфракрасном спектрометре UR-20 в тонком слое в таблетках КBr.

Спектры ЯМР-Н сняты на спектрометре (Hitachi—Pekin—Elmer» с рабочей частотой 60 МГц в виде 15% растворов в CCl_4 . В качестве внутреннего стандарта использовали ТМС.

Переаминирование диметилтрициклогодеценилдиэтиламиносилана с этилендиамином. Смесь 6,42 г (0,024 моля) диметилтрициклогодеценилдиэтиламиносилана и 0,8 г (0,013 моля) этилендиамина нагревали при 100° в течение 3 ч с одновременной отгонкой диэтиламина. После выделения 1,8 мл ($d=0,71$; 0,002 моля) диэтиламина реакционную массу разгоняли в вакууме. Выделили 4,3 г (82%) бис(диметилтрициклогодеценилсилиламино)этана I с $T_{\text{кип.}}$ 225° (1 мм рт. ст.) ИК спектр, ν , cm^{-1} : 875,910 (Si—N). Спектр ЯМР-Н, δ , м. д. : — 0,21 с (Si—CH₃); — 0,22 с (Si—CH₃); — 1,37 T (CH₂); 5,5 CH₍₁₎ $J=10$ Гц; 5,58 CH₍₂₎ $J=10$ и 1,2 Гц.

Дегидроконденсация бис(диметилтрициклогодецениламино)-этана с 1,3-диметил-1,3-диоктилдисилоксаном. Смесь 3,3 г (0,007 моля) бис(диметилтрициклогодеценилсилиламино)этана и 2,2 г (0,007 моля) 1,3-диметил-1,3-диоктилдисилоксана в присутствии 1% металлического калия (от массы исходных компонентов) нагревали и перемешивали при 60—150° в течение 3 ч с одновременным улавливанием водорода. После выделения 245 мл водорода и отгонки растворителя реакционную массу разгоняли в вакууме. Выделяли 1,6 г (47%) 1,3,5-трис(метилоктил)циклотрисилоксан III с $T_{\text{кип.}}$ 195° (1 мм рт. ст.) и 2,3 г (52%) N,N'-бис(диметилтрициклогодеценил)метилоктилсилилдиазол II с $T_{\text{кип.}}$ 265—267° (1 мм рт. ст.). ИК спектр, ν , cm^{-1} : 930, 875 Si—N) Спектр ЯМР-Н, δ , м. д. : — 0,04 с (Si—CH₃); — 0,08 с (Si—CH₃); — 0,12 с (Si—CH₃); 1,2 с (CH₂); 5,5 d, $J=10$ Гц. CH₍₁₎; 5,62 (ddd) 10 и 1,2 Гц CH₍₂₎.

Дегидроконденсация бис(триметилсилиламино)метилтрициклогодеценилсилана с метилфенилдигидридосиланом. Смесь 25,8 г (0,008 моля)

* Соединение III было синтезировано ранее.

Лит. данные /4/: Т кип.=204—210°C (1,5 мм), выход 60%.

ля) бис(триметилсилаламино)-метилтрициклогодеценилсилана и 9,8 г (0,08 моля) метилфенилгидридосилана в присутствии 1% металлического калия (от массы исходных компонентов) нагревали при 100—150° в течение 1,5 ч с одновременным улавливанием водорода. После выделения 3,3 л водорода и отгонки растворителя реакционную массу разгоняли в вакууме. Выделили 19,1 г (58%) N,N'-бис(триметилсилаламино)-1-метилфенил-3-метилтрициклогодеценилциклогидридосилазан (IV) с $T_{\text{кип.}}$ 185—186° (1 мм рт. ст.) ИК-спектр ν , см⁻¹: 875, 910 (Si—N). Спектр ЯМР-Н, δ, м. д.: —0,1742, —0,1743, —0,1688 с (Si—CH₃); 1,2 c, J 10 Гц (CH₂); 5,5 d, J 10 Гц CH₍₁₎; 5,62 ddd 10 и 1,2 Гц; δ $\left(\text{Si} \begin{array}{c} \diagup \text{CH}_3 \\ \diagdown \text{CH}_3 \end{array}\right)$ = —0,0642 м. д. транс, —0,065 м. д. цис; δ $\left(\text{Si} \begin{array}{c} \diagup \text{CH}_3 \\ \diagdown \text{C}_{10}\text{H}_{13} \end{array}\right)$ = —0,06 м. д. транс, —0,05 м. д. цис.

Каталитическая конденсация диметилтрициклогодецениламиносилана. 15,9 г (0,08 моля) диметилтрициклогодецениламиносилана в присутствии 1% металлического калия (от массы исходного компонента) нагревали при 250° в течение 4 ч. На титрование выделившегося NH₃ тратилось 178 мл 0,1N H₂SO₄. Перегонкой в вакууме выделили 19,4 г (60%) бис(трициклогодеценил)тетраметилдисилазан (V) с $T_{\text{кип.}}$ 202° (1 мм рт. ст.) ИК спектр, ν , см⁻¹: 3410, 1560 (N—H); 930, 875 (Si—N). Спектр ЯМР-Н δ, м. д.: —0,044 c, —0,056 c (Si—Me); 1,37 T, 10 Гц (CH₂); 5,5 d, J 10 Гц CH₍₁₎; 5,62 ddd, J 10 и 1,2 Гц.

Гетерофункциональная конденсация метилтрициклогодеценилдихлорсилана с о-фенилендиамином. В смесь 64,4 г (0,26 моля) метилтрициклогодеценилдихлорсилана и 500 мл сухого бензола пропускали газообразный аммиак до полной нейтрализации хлорсилана. После фильтрования, в раствор добавляли 28,13 г (0,26 моля) о-фенилендиамин и кипятили с одновременной отгонкой бензола. Наблюдалось интенсивное выделение аммиака. После полной отгонки растворителя реакционную массу разгоняли в вакууме. Выделили 30,2 г (50%) метилтрициклогодеценилсилилдиазол (VI) с $T_{\text{кип.}}$ 205° (1 мм рт. ст.). ИК спектр, ν , см⁻¹: 1560 (N—H); 875 (Si—N). Спектр ЯМР-Н, δ, м. д.: 0,17 c (Si—Me); 6,2—6,5 (Ph); 1,37 T, J 10 Гц (CH₂); 5,5 d, J 10 Гц CH₍₁₎; 5,62 ddd, J 10 и 1,2 Гц CH₍₂₎.

Гетерофункциональная конденсация метилтрициклогодеценилдихлорсилана с этилендиамином. В смесь 52,4 г (0,51 моля) триэтиламина и 650 мл сухого бензола одновременно добавляли 64,1 г (0,25 моля) метилтрициклогодеценилдихлорсилана и 15,6 г (0,25 моля) этилендиамина. После добавления реакционную смесь нагревали при 60°С в течение 3 ч. Затем фильтровали и удаляли растворитель. Выделили 180 г (75%) олигомера желтого цвета с $\eta_{\text{уд}} = 0,02$. ИК спектр, ν , см⁻¹: 1560 (N—H); 875 (Si—N).

რეზიუმე

შესწავლითა ტრიციკლობენილის რადიკალის შემცველი ამინონილი
ნებისა და სილაზანების გადამინების, კატალიზური კონდენსაციისა და ფ-
ჰიდროკონდენსაციის, გარეთვე პეტეროფუნქციონალური კონდენსაციის რეაქ-
ციები. გამოყოფილია შესაბამისი ნაერთები, რომელთა გებულება დადგენ-
ლია გრძელ, იწ სპეციტროსკოპისა და კვლევის სხვა ფიზიკურ-ქიმიური მეთოდებით.

M. G. KATSITADZE, L. I. NAKAIDZE, V. V. KAZAKOVA, T. V. CHOGOVADZE,
L. M. KHANANASHVILI

ON SOME TRANSFORMATIONS OF TRICYCLODECENILAMINOSILANES AND SILAZANES

Summary

Some chemical transformations of organoaminosilanes and silazanes with tricyclodecenyl radicals of silicon atom have been studied.

N,N'-bis (dimethyltricyclodecenyl) methyloctylsilyldiazol has been obtained for the first time by reaction of dehydrocondensation of bis(dimethyltricyclodecensilsililamino)ethane with 1,3-dimethyl-1,3-dioctyldisiloxane.

N,N'-bis (trimethylsilyl)-1-(methyltricyclodecenyl)-3-(methylphenyl) cyclo-disilazane has been obtained by catalytical dehydrocondensation of bis(trimethylsilylamino) methyltricyclodecensilsilane with methylphenyldihydrate silane, and siliconorganic oligomer with $n=4 \div 6$, has been obtained by heterofunctional condensation of methyltricyclodecindichlorsilane with ethylene.

The structure of the synthesised compounds has been approved by IR and NM spectra.

ლიტერატურა — ЛИТЕРАТУРА — REFERENCES

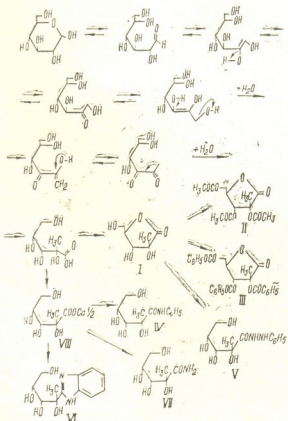
1. Чоговадзе Т. В., Ногайдели А. И., Хананашвили Л. М., Накаидзе Л. И., Цховребашвили В. С., Гусев А. И., Нестеров Д. Ю. ДАН СССР, 1979, т. 246, вып. 4, с. 891—895.
2. Хананашвили Л. М., Накаидзе Л. И., Чоговадзе Т. В., Цховребашвили В. С. Сообщ. АН ГССР. 1983, т. 112, вып. 1, с. 81—84.
3. Кацитадзе М. Г., Казакова В. В., Накаидзе Л. И., Хананашвили Л. М., Жданов А. А. Изв. АН СССР, сер. хим., 1988, № 3, с. 663—665.
4. Andrianov K. A., Izmailov B. A. J. Organometallic Chem., 1967, 8, № 3, Р 443 — 450.

УДК 547.45

Р. А. ГАХОКИДЗЕ, И. Н. СИДАМОНИДЗЕ

СИНТЕЗ ПРОИЗВОДНЫХ α -D-ГЛЮКОСАХАРИНОВОЙ КИСЛОТЫ

В настоящее время сахариновые кислоты представляют интерес с нескольких точек зрения. Открытие в природе ряда дезоксисахаров и сахаров с разветвленной цепью привело к необходимости их идентификации, в частности, путем установления генетических связей с сахариновыми кислотами [1]. Большой интерес представляет нахождение значительных количеств сахариновых кислот в растениях [2, 3]. 1,4-лактон α -D-глюкосахариновой кислоты применен в качестве исход-



ного соединения в синтезе нуклеозидов, содержащих разветвленные сахара [4].

Известные способы не позволяют получить производные α -D-глюкосахариновой кислоты с удовлетворительным выходом. 1,4-лактон

α -D-глюкозахариновой кислоты можно получить путем обработки известковой водой D-глюкозы, D-маннозы (выход 3—4%), D-фруктозы (выход 10%) и 1-O-метил-D-фруктозы (выход 25%).

В настоящей работе описан эффективный метод получения 1,4-лактона α -D-глюкозахариновой кислоты с выходом 58%, заключающийся во взаимодействии D-глюкозы с гидроксидом свинца. В этом случае стереоспецифично протекает скелетная перегруппировка с образованием трео-изомера. Синтезирован ряд производных α -D-глюкозахариновой кислоты: 1,4-лактон (I) и его три-O-ацетил- (II) и три-O-бензоил- (III) производное, анилид (IV), фенилгидразид (V), бензимидазольное производное (VI), амид (VII) и кальциевая соль (VIII).

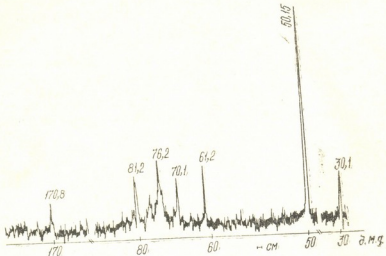


Рис. 1. ЯМР¹³C спектр 1,4-лактона α -D-глюкозахариновой кислоты

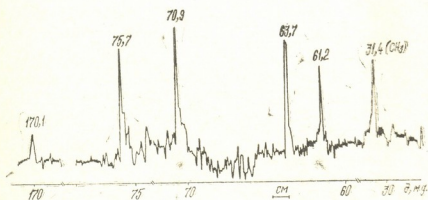


Рис. 2. ЯМР¹³C спектр Ca-соли α -D-глюкозахариновой кислоты

В ИК спектре лактона (I) наблюдаются полоса поглощения в области 3200—3600 см⁻¹, характерные для OH группы, 1695 см⁻¹ (C=O) и 1150 см⁻¹ (C—O—C), а для фенилгидразида — 3400—3600 см⁻¹ (OH), 1770 см⁻¹ (C=O), 1620 см⁻¹ (C=C_{аром}), 740, 780 см⁻¹ (C—H_{аром}) и 3310—3300 см⁻¹ (NH). В спектрах ЯМР¹³C соединений (I) и (VIII) присутствуют резонансные сигналы в области 40,1—41,4 м.д., характерные для метиленовых протонов, а область 170,1—170,8 м.д. принадлежит к карбонильной группе (рис. 1 и 2).

Масс-спектр триметилсилилового производного кислоты (IX) содержит фрагмент с m/e 525 ($M-15$)⁺, 437 и 104 (разрыв связи C_4-C_5), 435 ($M-15-90$)⁺, 306 (ион, образующийся перегруппировкой по МакЛафферти), 307 и 233 (разрыв связей C_2-C_3), 335 и 205 (разрыв связей C_3-C_4), 217 ($307-90$)⁺ (рис. 3).

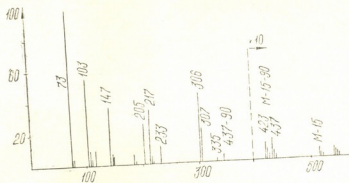
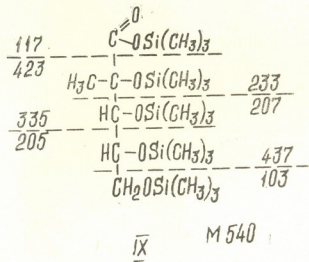
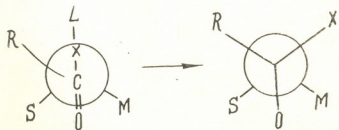


Рис. 3. Масс-спектр триметилсилилового производного α -D-глюкозахариновой кислоты

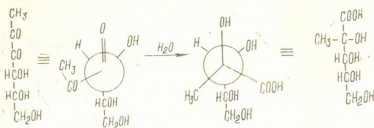


Следует отметить, что образование α -D-глюкозахариновой кислоты протекает стереоспецифично (без образования β -изомера). Этому факту можно дать следующее объяснение. Если новый асимметрический центр образуется по соседству с уже имеющимся, то конфигурация продукта в большей или меньшей степени определяется конфигурацией



рацией исходного вещества (асимметрической индукцией). Соответствующему правилу Крама [6], для присоединения по карбонильной группе конфигурацию продукта можно предсказать, принимая ориентацию заместителей в карбониле между двумя наименьшими заместителями (*M*, *S*) у асимметрического атома углерода и принимая, что подходящий реагент (*R*) приближается со стороны наименьшей группы (*S*).

В данном примере можно принять, что



Стереохимически определяющей стадией является внутримолекулярный необратимый перенос метильной группы.

Экспериментальная часть

Кальциевая соль (VIII) и 1,4-лактон (I) α -D-глюкосахариновой кислоты. К раствору 10 г D-глюкозы в 150 мл воды добавляли 20 г свежеосажденного гидроксида свинца. Реакционную смесь оставляли в атмосфере азота на 10 дней при комнатной температуре с периодическим перемешиванием. Раствор оранжевого цвета отделяли от осадка, осадок промывали водой, эфиrom, и фильтрат для удаления свинца обрабатывали сероводородом или пропускали через колонку с катионитом КУ-2(Н) (среди кислот, летучих с водяным паром ($4,9 \cdot 10^4$ эвк.), обнаружена муравьиная кислота). Далее обработку проводили двумя способами.

а) Фильтрат и промывные воды упаривали в вакууме, вновь добавляли воду и отгоняли до удаления запаха сероводорода. Оставшуюся массу растворяли в небольшом количестве воды и нагревали 5 ч с углекислым кальцием на кипящей водяной бане с обратным холодильником. После отделения избытка углекислого кальция раствор обесцвечивали активированным углем, выпаривали в вакууме (50°) до появления кристаллов. Из концентрированного раствора соль выделяли при стоянии в холодильнике (иногда добавляли 96%-ный этанол). Выделившиеся белые кристаллы промывали холодным этианолом. Соль перекристаллизовывали из воды и высушивали до постоянного веса в вакуум-термостате (80°). Выход 5,9 г (53,4%), $[\alpha]_D^{20} + 8,2^\circ$ (с 0,7, вода). Найдено, %: Са 10,15, 10,23. $C_{12}H_{22}O_{12}$. Вычисление, %: Са 10,05. ЯМР ^{13}C (б. м.д.): 170,1 (C—1), 41,4 (CH_3), 70,9 (C—3), 75,7 (C—4), 63,7 (C—5), 61,2 (C—6).

Для получения α -D-глюкосахарино-1,4-лактона водный раствор 1 г кальциевой соли обрабатывали катионитом КУ-2(Н), фильтрат упаривали под вакуумом, и полученный сироп нагревали в вакуум-термостате при $80-90^\circ$ в течение 2 часов. Выход 0,72 г (88,9%) (общий выход α -D-глюкосахарино-1,4-лактона из D-глюкозы составляет 47,2%).

б) Фильтрат и промывные воды после предварительного обесцвечивания углем пропускали через колонку с анионитом АВ-17(OH). Вытеснение анионов кислоты производили пропусканием через колонку с отмытой смолой 4%-ного раствора гидроксида натрия. Далее фильтрат пропускали через колонку с катионитом КУ-2(Н) для удаления ионов натрия. Раствор после обесцвечивания углем упаривали

в вакууме при температуре 40–45°, и полученный густой сироп нагревали в вакуум-термостате при 80–90° в течение 2 часов. Выход α -D-глюкозахарино-1,4-лактона 5,29 г (58,7%), т. пл. 159–161° (из воды), R_f 0,59 (бутанол—этанол—уксусная кислота—вода 45:5:1:49), $[\alpha]_D^{20} + 87^\circ$ (с 0,53, вода). По литературным данным [7] т. пл. 159–161°, $[\alpha]_D^{20} + 90^\circ$. ИК спектр (ν , см⁻¹): 3200–3600 (OH), 1695 (C=O), 1150 (C—O—C). ЯМР ^{13}C (б. м.д.): 170,8 (C—1), 40,1 (C—2), 81,2 (C—3), 76,2 (C—4), 70,1 (C—5), 61,2 (C—6). Найдено, %: C 44,32; 44,10; H 5,93, 5,84, C₆H₁₀O₅. Вычислено, %: C 44,44; H 6,17.

Анилид α -D-глюкозахариновой кислоты (IV). В водному раствору 0,5 г кальциевой соли α -D-глюкозахариновой кислоты добавляли 10 мл этилового спирта, 5 мл уксусной кислоты и 8 мл свежеперегнанного анилина. Смесь кипятили с обратным холодильником в течение одного часа, отфильтровывали и растворитель отгоняли в вакууме до появления кристаллов. Выход 0,51 г (81%), т. пл. 189–190°, $[\alpha]_D^{20} + 56^\circ$ (с 0,71, этанол). По литературным данным [7] т. пл. 193–195°, $[\alpha]_D^{20} + 55^\circ$ (с 0,53, этанол).

Фенилгидразид α -D-глюкозахариновой кислоты (V). При нагревании 0,62 г α -D-глюкозахарино-1,4-лактона с 14 мл спиртового раствора свежеперегнанного фенилгидразина получали фенилгидразид α -D-глюкозахариновой кислоты. Выход 0,77 г (69%), т. пл. 166–167° (из этилацетата), $[\alpha]_D^{20} + 51,5^\circ$ (с 0,33, пиридин). По литературным данным [8], т. пл. 167–169°, $[\alpha]_D^{20} + 50,38^\circ$ (с 0,34, пиридин). ИК спектр (ν , см⁻¹): 3400–3600 (OH), 1770 (C=O), 1620 (C = C_{аром}), 740, 800, 870 (C—H_{аром}), 3310–3330 (N—H).

2-(D-рибо-3-C-метил-тетраоксибутил)-бензимидазол (VI). К смеси 0,711 г кальциевой соли α -D-глюкозахариновой кислоты и 0,5 г О-фенилендиамина добавляли 30 мл воды, 10 мл этилового спирта, 0,8 мл концентрированной соляной кислоты, 0,2 мл 85%-ной ортофосфорной кислоты и кусочек пемзы. Смесь нагревали до образования прозрачного раствора, после чего выдерживали 2 ч на масляной бане при 140°. Образовался твердый плав, который в еще теплом состоянии растворяли в 10 мл горячей воды, нагревали 10 минут с активированным углем, отфильтровывали, фильтрат охлаждали и добавляли концентрированный раствор аммиака до щелочной реакции. После стояния в холодильнике выпадали кристаллы. Их отфильтровывали, промывали водой, ацетоном, эфиром и высушивали на воздухе. Выход 0,71 г (78,8%), т. пл. 187–188,5°. Найдено, %: N 10,98. C₂₂H₁₆N₂O₄. Вычислено, %: N 11,11.

Амид α -D-глюкозахариновой кислоты (VII). 0,632 г кальциевой соли α -D-глюкозахариновой кислоты растворяли в 25 мл воды и с помощью катионита КУ-2(Н) переводили в кислоту. Затем к раствору добавляли хлористый тионил и нагревали с обратным холодильником 1 ч на водянной бане. Смесь выливали в ледяную воду, насыщенную аммиаком. После стояния в холодильнике выпадали кристаллы. Отфильтровывали, промывали эфиром и высушивали на воздухе. Т. пл. 152–153°, $[\alpha]_D^{20} + 44^\circ$ (с 0,3, этанол).

1,4-Лактон-2,3,5-три-0-бензоил- α -D-глюкозахариновой кислоты (III). К 1 г 1,4-лактона α -D-глюкозахариновой кислоты в 20 мл сухого пиридина при перемешивании прибавляли 5 мл бензилхлорида. Смесь нагревали 4 часа при 60°. По охлаждении реакционную массу разбавляли водой, экстрагировали хлороформом. Хлороформные вытяжки промывали разбавленной соляной кислотой, слабым раствором бикарбоната натрия и водой, высушивали и выпаривали в вакууме. Образующийся остаток перекристаллизовывали из эфира. Выход продукта 1,9 г (68%). Т. пл. 137–139°, $[\alpha]_D^{20} + 124,5^\circ$ (с 0,45 хлороформ). ИК спектр (ν , см⁻¹): 1780 (1,4-лактон), 1745, 1730 (эфир). Найдено,

%: C 68,16; 68,04. H 4,58; 4,43. C₂₇H₂₂O₈. Вычислено, %: C 68,35; H 4,67.

1,4-Лактон 2,3,5-три-0-ацетил- α -D-глюкосахариновой кислоты (II). К раствору 0,7 г лактона в 3 мл пиридина при охлаждении по каплям добавляли 3 мл уксусного ангидрида в 10 мл пиридина и оставляли на ночь при комнатной температуре. Затем выливали в ледяную воду и экстрагировали хлороформом. Экстракты промывали 10%-ным раствором соляной кислоты, водным раствором бикарбоната натрия, водой, высушивали и концентрировали. Оставшийся сироп не кристаллизовался. Выход 0,8 г (62%), $[\alpha]_D^{20} + 138^\circ$ (с 0,2, этанол). Найдено, %: C 49,85, 49,85; H 5,52, 5,48. C₁₂H₁₆O₈. Вычислено, %: C 50,0; H 5,6.

Тбилисский государственный
университет им. И. Джавахишвили

Поступило 22.07.88

н. გახოძიძე, ნ. სიდამინიძე

α -D-გლუკოსაქარინის გავაკა დარღვეულების სინთეზი

სინთეზი

დამუშავებულია α -D-გლუკოსაქარინის მჟავის 1,4-ლაქტონის სინთეზი პრეცარატული მეთოდი, რაც მდგომარეობს D-გლუკოზაზე ტყვიის პიდროვის მოქმედებაში. რეაქცია მიმდინარეობს სტერეოსპეციფიურად ტრეო-ქსიდის მოქმედებით. სინთეზირებულია α -D-გლუკოსაქარინის მჟავის იზომერის წარმოქმნით. სინთეზირებულია α -D-გლუკოსაქარინის მჟავის წარმოქმნის მექანიზმი.

R. A. GAKHOKIDZE, N. N. SIDAMONIDZE

SYNTHESIS OF α -D-GLUCOSACCHARINIC ACID DERIVATIVES

Summary

A new preparative method has been developed for the synthesis of 1,4-lactone of α -D-glucosaccharinic acid including treatment of D-glucose with lead hydroxide. The reaction proceeds stereospecifically with the formation of threo-isomer. Several derivatives of α -D-glucosaccharinic acid have been synthesized. The possible mechanism of α -D-glucosaccharinic acid formation is proposed.

ლიტერატურა — REFERENCES

- Гахокидзе Р. А. Успехи химии, 1980, 49, № 3, 420.
- Солдатенков С. В. Биохимия органических кислот. Изд. Ленинградского университета, 1971, с. 50.
- J. de Pascual Teresa, J. C. Hernandez Aubaneil, A. S. Feliciano, J. M. Miguel der Corral. Tetrahedron Letters 1980, 21, 1359.
- Jenkins S. R., Arison B., Walton E. J. Org. chem., 1968, 33, 24.
- Walton E., Jenkins S. R., Nutt R. F., Zimmermann Holley F. W. J. Am. Chem. Soc., 1969, 88, 4524.
- Cram D. J., Abd El-haier F. A. J. Am. Chem. Soc., 1952, 74, 5828.
- Сергиенко И. З., Степаненко Б. Н. Прикладная биохимия и микробиология, 1969, 5, с. 715.
- Whistler R. L., Wolfson M. L. Methods in Carbohydrate Chemistry, N. Y., London, 1963, 11, 485.

УДК 547.595.2.07

А. В. ДОЛИДЗЕ, Т. Г. АЛАВИДЗЕ, М. Б. СУЛАДЗЕ,
Н. Ш. БАГАТУРИЯ, И. Э. ВАРДОСАНИДЗЕ

КАРБОНИЛИРОВАНИЕ ЦИКЛООЛЕФИНОВ МУРАВЬИНОЙ КИСЛОТОЙ В ПРИСУТСТВИИ КИСЛОТНЫХ КАТАЛИЗАТОРОВ

Известно, что кроме оксида углерода ацилирующим агентом в реакции карбонилирования может быть использована муравьиная кислота [1—3]. Реакция протекает в мягких условиях в температурном интервале от —1 до 15° при атмосферном давлении в присутствии катализатора конц. H_2SO_4 .

Нами было исследовано карбонилирование метилцикlopентена с применением каталитической системы конц. H_2SO_4 — Cu_2O и ацилирующего агента муравьиной кислоты.

Опыты проводились в конической колбе с магнитной мешалкой, емкостью 250 см³, снабженной капельной воронкой, помещенной в водяную баню и присоединенной к склянке Тищенко. В колбу загружали катализатор (50 мл конц. H_2SO_4 (96%) с добавкой Cu_2O), а в капельную воронку помещали субстрат 1-метилцикlopентена и муравьиную кислоту. После термостатирования к катализатору прибавляли по каплям муравьиную кислоту, которая разлагалась на оксид углерода и воду. После вытеснения оксидом углерода воздуха из системы прибавляли циклоолефин при интенсивном перемешивании смеси. Затем реакционную смесь разрушали водой. Образовавшиеся карбоновые кислоты экстрагировали из реакционной смеси и. гексаном (50 мл). Карбоновые кислоты анализировали методом ГЖХ на хроматографе ЛХМ-80 с колонкой из нержавеющей стали (3 м×3 мм), заполненной хроматоном с 10% полиэтиленгликольсукинатом. Детектор — пламенно-ионизационный, температура анализа 175°.

Таблица 1

Реакция карбонилирования 1-метилцикlopентена (мольное отношение
катализатор : циклоолефин : $HCOOH = 10:1:2$, $t = 25^\circ C$)

Кatalитическая система	Конверсия циклоолефина в кислоту, %	Образовавшиеся кислоты и их содержание в смеси, %	
		1-МЦПКК	высшие кислоты
Конц. H_2SO_4 (96%)	14	70	30
Конц. H_3PO_4 (85%)	8	67	33
Конц. H_2SO_4 — Cu_2O (1) (0,2)	30	64	36
Конц. H_3PO_4 — Cu_2O (1) (0,2)	18	50	50

Из полученных результатов (табл. 1) видно, что использование в качестве катализатора конц. H_2SO_4 и ацилирующего агента — муравьиной кислоты конверсия 1-метилцикlopентена в карбоновую кис-

лоту достигает 14%; при этом содержание 1-метилцикlopентанкарбоновой кислоты (1-МЦПКК) равно 70%. Конц. H_3PO_4 по сравнению с конц. H_2SO_4 проявляет сравнительно низкую активность (конверсия в циклокислоту — 8%). Надо отметить, что добавление оксида меди в циклические карбоновые кислоты вызывает повышение выхода циклических карбоновых кислот примерно в два раза (от 14 до 30%). По-видимому, ионы одновалентной меди адсорбируют образовавшиеся молекулы CO с получением карбонильных комплексов типа $Cu(CO)_n^{+1}$, которые в дальнейшем способствуют образованию ацил-комплексов [4].

Изучение влияния соотношения реагирующих веществ на выход циклических карбоновых кислот показало, что повышение мольного отношения катализатора к циклоолефину от 1 до 10 вызывает увеличение конверсии метилцикlopентена с 22 до 65% (табл. 2). Наряду с этим возрастает и выход карбоновых кислот от 5 до 22%. Оптимальным можно считать мольное отношение катализатор:циклоолефин

Таблица 2

Карбонилирование 1-метилцикlopентена в присутствии катализитической системы H_2SO_4 — Cu_2O (1 : 0,02), $t=25^\circ$ в зависимости от соотношения реагирующих веществ

Мольное отношение катализатор : циклоолефин : HCOOH	Конверсия циклоолефина, %	Выход циклических карбоновых кислот, %	Содержание 1-МЦПКК, %
1 : 1 : 1	22	5	20
2 : 1 : 1	49	18	32
4 : 1 : 1	62	22	30
8 : 1 : 1	64	20	25
10 : 1 : 1	65	20	28
4 : 1 : 2	60	38	40
4 : 1 : 3	62	42	50
4 : 1 : 4	63	45	50

4 : 1. Конверсия циклоолефина мало зависит от количества муравьиной кислоты. Однако с повышением мольного отношения (катализатор : HCOOH) и количества муравьиной кислоты в реакционной среде возрастает селективность образования карбоновых кислот от 22 до 42%, вместе с тем содержание 1-МЦПКК в катализате увеличивается до 50%.

Таблица 3

Влияние количества добавки (Cu_2O) на карбонилирование 1-МЦП при $t=25^\circ$ (мольное соотношение катализатор : циклоолефин : HCOOH = 4 : 1 : 3)

Мольное отношение катализатор : Cu_2O	Конверсия 1-МЦП, %	Выход циклических карбоновых кислот, %	Содержание 1-МЦПКК, %
1 : 0,01	70	30	38
1 : 0,02	62	42	50
1 : 0,03	58	40	48
1 : 0,04	45	39	50
1 : 0,05	41	41	49

Повышение концентрации муравьиной кислоты в реакционной системе вызывает возрастание количества CO, что приводит к улучшению протекания процесса карбонилирования. Из полученных результатов видно, что оптимальным соотношением реагирующими веществ

является мольное соотношение катализатор: циклоолефин: HCOOH , равное 4:1:3, при котором конверсия субстрата достигает 62%, выход кислот — 42%, из них 50% — 1-МЦПКК.

В оптимальных условиях исследовано влияние количества добавки Cu_2O катализатора на выход карбоновых кислот в реакции карбонилирования 1-МЦП (табл. 3). Показано, что мольное соотношение катализатор (H_2SO_4) : добавка (Cu_2O), равное 1:0,02, является для катализитической системы оптимальным. Дальнейшее увеличение количества добавки (Cu_2O) не вызывает возрастание выхода циклических карбоновых кислот. Повышение температуры от 5 до 65° вызывает возрастание конверсии 1-МЦП от 20 до 83% (табл. 4), выход карбоновых

Таблица 4

Влияние температуры на карбонилирование 1-МЦП в присутствии катализитической системы H_2SO_4 — Cu_2O (1:0,02) (мольное соотношение катализатор : циклоолефин : HCOOH = 4:1:3)

Температура, °C	Конверсия циклоолефина, %	Выход циклических карбоновых кислот, %	Содержание 1-МЦПКК, %
5	20	16	46
25	62	42	50
45	22	53	32
65	83	38	18

карбоновых кислот увеличивается от 16 до 53% (45°). При более высокой температуре (65°) выход кислот уменьшается до 38%.

При сравнительно высоких температурах происходит реакция полимеризации (олигомеризации) исходного циклоолефина, что повышает степень превращения 1-метилцикlopентена, но выход карбоновых кислот падает.

Для селективного получения МЦПКК в ходе протекания реакции были использованы некоторые аprotонные разбавители субстрата. При применении растворителей в реакции карбонилирования 1-метилцикlopентена степень конверсии циклоолефина уменьшается. Природы аprotонного растворителя не влияет на протекание реакции. Однако селективность образования 1-МЦПКК и ее содержание в продуктах реакции возрастают. Этот эффект, по-видимому, вызван тем, что с разбавлением субстрата происходит уменьшение доли побочного процесса — реакции полимеризации исходного циклоолефина, что положительно влияет на выход карбоновых кислот.

Институт физической и
органической химии
им. П. Г. Меликшивили АН ГССР

Поступило 02.11.88

ა. ლომიძე, თ. ალავეძე, გ. სულაძე, ნ. გაღათურია, ი. ვარდოსანიძე

ცისლომილიკინის კარბონილირების პრაცესის კატალიზატორების შეანარჩუნება

რეზუმე

შესწავლით მეთილციკლონეტენის კარბონილირების რეაქცია კატალიზებული სისტემის კონც. H_2SO_4 — Cu_2O თანაბისეს, ხოლო ნახშირბადის მონომეტილი ფირროდ გამოყენებულია ჭიანჭველმჟავა. სარეაქციო სისტემაში ჭიანჭველმჟავის კონცენტრაციის გაზრდა ხელს უწყობს ნახშირბადის მონომეტილის რაოდენობის ზრდას, რაც უზრუნველყოფს კარბონილირების

პროცესის მიმღინარეობას. დადგენილია მორეაგირე ნივთიერებადა თუ მუშაობის მოლური თანაფარდობა (კატალიზატორი: ციკლოოლეფინი: ჰიანგვალეფინი = 4:1:3), რომლის დროსაც სუბსტრატის კონვერსია აფენტურული მედიუმით გამოსავალი 42%, რომელთაგან 50% I-მეთილციკლოპენტაცია-ბონდებია.

A. V. DOLIDZE, T. G. ALAVIDZE, M. B. SULADZE, N. Sh. BAGATURIA,
I. E. VARDOSANIDZE

CARBONYLATION OF CYCLOOLEFINS BY FORMIC ACID IN THE PRESENCE OF ACID CATALYSTS

Summary

Carbonylation of methylcyclopentane by means of catalytic system of the concentrated $H_2SO_4-Cu_2O$ and the acyldating agent of formic acid has been studied. The increase of the concentration of formic acid in the reaction system promotes the increase of CO content, improving the carbonylation process. It was established that the optimum molar ratio of the reacting substances is catalyst:cycloolefin:HCOOH—4:1:3, at which the substrate conversion makes up 62%, acid yield—42%, 50% of which makes up 1-methylcyclopentane carbon acid.

ლიტერატურა — ЛИТЕРАТУРА — REFERENCES

1. Ордиян М. Б., Эйдус Я. Т. ЖОХ, 1965, I, 1783.
 2. Ордиян М. Б., Эйдус Я. Т., Каал Т. А. ЖОХ, 1965, I, 880.
 3. Ордиян М. Б., Эйдус Я. Т. Арм. хим. журнал, 1967, 20, 35.
 4. Пирожков С. Д., Степанян А. С., Мышенкова Т. Н., Ордиян
М. Б., Лапидус А. Л. Изв. АН СССР, сер. хим., 1982, 9, 2100.
-

ФИЗИЧЕСКАЯ ХИМИЯ

УДК 542.947.7 : 534.2 : 549.67

Г. В. ЦИЦИШВILI, Г. В. МАПСУРАДЗЕ, Г. О. ЧИВАДЗЕ,
Г. В. МЕТРЕВЕЛИ, Р. Ш. ЗЕДГЕНИДЗЕ, Д. В. КЕКЕЛИЯ,
Г. В. АНТОШИН

КАТАЛИТИЧЕСКАЯ АКТИВНОСТЬ МЕДНЫХ ФОРМ ЦЕОЛИТА У

Цеолиты типа У, содержащие катионы меди, используются в качестве катализаторов окисления. Катионы меди в эти катализаторы вводились в основном ионным обменом, пропиткой и адсорбцией из карбонилов [1, 2]. В литературе почти нет работ по изучению катализитической активности цеолитов, в которые катионы вводились бы электрохимическим способом.

Целью данной работы было изучение зависимости каталитической активности медных форм цеолита У (исходный цеолит имеет модуль 2,29 и содержит 9,56% натрия) в окислении п-ксилола от способа введения катионов меди.

Экспериментальная часть

Катионы меди вводили в исследованные цеолиты по методике [3]. На рис. 1 дана зависимость степени ионного обмена от продол-

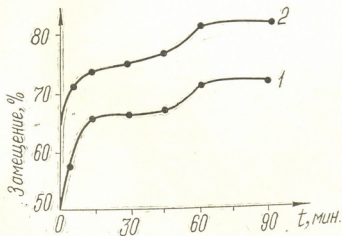


Рис. 1. Зависимость степени замещения от продолжительности электролиза:
1. Катализатор II с 65%-ным замещением; 2. Катализатор I с 81%-ным замещением

жительности электролиза. В области значений степени замещения 66—74% вид кривой указывает на ступенчатый характер процесса обмена. До 66% степени замещения происходит заполнение энергетически идентичных или близких друг к другу позиций, после чего проис-

ходит перераспределение катионов и далее заполнение других позиций. Исходя из этих соображений, и были выбраны два образца с 81% и 65% замещением ионов меди.

Таким образом, по методике [3] были приготовлены катализаторы: I—NaY, модифицированный электрохимическим способом при $I=1\text{A}$ в течение 90 мин. Электролит—Iн раствор CuSO_4 . Содержание меди в полученным катализаторе 7,7%. Процент замещения 81%. II—NaY, модифицированный электрохимическим способом при $I=0,06\text{A}$ в течение 45 мин. Электролит—Iн раствор CuSO_4 . Содержание меди в полученным катализаторе 6,25%. Процент замещения—65%. III—NaY, приготовленный методом ионного обмена в Iн растворе CuSO_4 в течение 35 мин. Содержание меди в полученным катализаторе 6,14%. Процент замещения—65%.

Изучалась также катализическая активность клиноптилолита, модифицированного по методике [4] (МКл).

Для проведения опытов 1 cm^3 катализатора (фракции 2—3 мм) предварительно прогревали в муфельной печи при 450° в течение 2 ч. Затем смешивали с 2 cm^3 битого стекла той же фракции и помещали в реактор.

Модельной реакцией было избрано окисление п-ксилола воздухом в проточной установке. Концентрация п-ксилола в реакционной смеси (воздух+пары п-ксилола) равна 3,5 мг/л. Объемная скорость реакционной смеси 20 000 ч⁻¹. Активность оценивали по конверсии при 250, 300, 350, 400 и 450° . Анализ проводили на хроматографе ЛХМ-8МД (детектор—катарометр, колонка длиной 1,5 м, заполненная поропаком «Q»).

ИК-спектры образцов снимали на спектрометре «UR-20» в области 1400—1600 cm^{-1} и 3000—3800 cm^{-1} в вакууме 1×10^{-5} Торр и при температурах 23, 100, 200, 300 и 400° . Кроме того, на образцах спектроскопически изучали адсорбцию водорода, воды и аммиака.

Результаты и их обсуждение

Экспериментальные результаты приведены в табл. 1 и на рис. 2 и 3. Из табл. 1 видно, что самым активным катализатором при 250

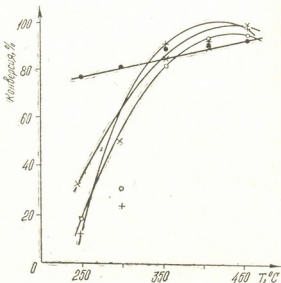


Рис. 2. Кривые конверсии п-ксилола на различных катализаторах
(●—Катализатор I; ○—Катализатор II; ⊕—Катализатор III; x - Катализатор МКл)

и 300° является катализатор I с максимальным содержанием ионов меди. Конверсия на катализаторе I достигает 80% при 300° . Начиная с 350° активность всех катализаторов медьсодержащей формы достигает 90% конверсии.

БАРИСБУРГО
ЗАВОД ПОЛИМЕРОВ

Таблица 1

Конверсия п-ксилола на различных катализаторах

Образец	$T_3^{450^\circ\text{C}}$ $T_p, ^\circ\text{C}$		$T_3^{400^\circ\text{C}}$ $T_p, ^\circ\text{C}$		$T_3^{350^\circ\text{C}}$ $T_p, ^\circ\text{C}$		$T_3^{450^\circ\text{C}}$ $T_p, ^\circ\text{C}$		$T_3^{300^\circ\text{C}}$ $T_p, ^\circ\text{C}$	
	Конверсия, %		Конверсия, %		Конверсия, %		Конверсия, %		Конверсия, %	
I	480	94,21	420	92,11	370	91,21	304	81,13	250	78,42
II	470	95,41	420	94,12	365	84,47	302	32,32	250	18,50
III	476	96,22	425	92,18	373	91,92	302	26,65	248	13,50
MKl	455	96,21	414	90,44	365	85,21	306	50,25	249	33,14
NaY	--	--	415	74,62	362	64,57	302	28,84	250	14,15

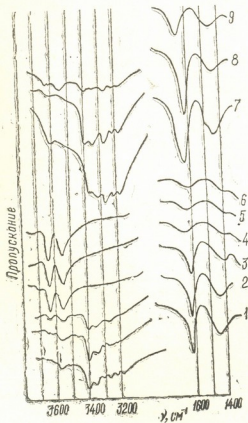


Рис. 3. ИК спектры катализатора 1: 1. Воздушно-сухого образца; 2. Откаченного при 10^{-5} Торр. 3. Обработанного при: 100° (3); 200° (4); 300° (5); 400° (6). 7. При напуске паров воды; 8. Обработанного аммиаком; 9. Обработанного водородом

На исходном NaY цеолите степень конверсии п-ксилола при 250 и 300° соответственно равна 14,5 и 28,8%.

Высокая катализитическая активность катализатора I, по-видимому, обязана высокой концентрации катионов меди в цеолите, их количество и состоянию, что определяется методом введения этих катионов.

Обычным ионным обменом из растворов в цеолите NaY степень обмена катионов меди нельзя увеличить выше 65%, тогда как электрохимический метод дает возможность довести степень обмена до 81%.

Реакция окисления на катализаторе I более экзотермична по сравнению с реакцией на других катализаторах. Увеличение температуры реакции по сравнению с заданной температурой (при 350—450°) составляет 20—30°.

Сравнение активностей катализаторов II и III показывает, что при окислении п-ксилола в изученном интервале температур метод введения катионов меди в цеолит практически не влияет на активность катализатора. При низких температурах катионы меди в этих катализаторах находятся, вероятно, в различных состояниях, по сравнению с катализатором I, а с увеличением температуры реакции и под влиянием реакционной смеси в результате окислительно-восстановительных процессов происходит переход всех катионов меди в практически одинаковое состояние, причем, возможно в такое, в котором находятся катионы меди в катализаторе I.

Высокая активность МКл катализатора, по-видимому, вызвана специальной обработкой клиноптилолита по методике [4]. Видимо, приготовление катализатора по методике [4] способствует повышению активности цеолита за счет его частичного декатионирования и деалюминирования [5, 6].

Кроме исследования катализаторов в реакции окисления, были получены ИК спектры катализатора I. Как видно из рис. 3, в спектрах (область 1400—1600 см⁻¹) воздушно-сухого образца проявляются две полосы поглощения: 1440 и 1620 см⁻¹, а в области спектра 3000—3800 см⁻¹ следующие полосы поглощения: 3180, 3220, 3270, 3300, 3350, 3400 и 3560 см⁻¹.

Интенсивность всех вышеуказанных полос поглощения уменьшается при термовакуумной обработке образца. После термовакуумной обработки при 100° появляется полоса поглощения при 3640 см⁻¹. Термовакуумная обработка образца при 200° еще больше изменяет спектр поглощения. В области 1400—1600 см⁻¹ проявляются полосы поглощения 1410 и 1650 см⁻¹, а в валентной области колебания молекул воды наблюдаются только две полосы поглощения: 3550 и 3640 см⁻¹. Обработка образца при 300 и 400° не дает существенной разницы, только полоса 1410 см⁻¹ практически исчезает. Адсорбция молекул воды восстанавливает картину, характерную для воздушно-сухого образца. Вновь появляются полосы в деформационной области колебаний молекул воды 1440 и 1630 см⁻¹ и в валентной области: 3180, 3220, 3270, 3320, 3370 и 3610 см⁻¹.

Введение малых количеств увлажненного аммиака сужает полосу поглощения 1620 см⁻¹, исчезает полоса поглощения 3610 см⁻¹ и появляется вновь полоса поглощения 3400 см⁻¹. Напуск водорода в систему во время термообработки образца при 200° дает следующую картину: в области 3000—3800 см⁻¹ появляются две полосы поглощения — 3550 и 3640 см⁻¹.

Появление и усиление относительной интенсивности двух полос поглощения при 3550 и 3640 см⁻¹ по мере увеличения степени дегидратации в ИК спектрах цеолита характеризуют колебания Si—OH [7—9]. В отличие от медных форм цеолита Y, полученных при обычном ионном обмене, эти полосы исчезают при 300°, в то время как в нашем случае они еще присутствуют во время термовакуумной обработки при 400°. Адсорбция молекул воды вызывает исчезновение этих

полос. При этом, возможно, происходит восстановление структуры каркаса цеолита. Полосы поглощения 3550 и 3640 см⁻¹ характерны для декатионированных форм цеолита типа Y, полученных термическим разложением NH₄-формы. По-видимому, эти полосы поглощения следовало бы отнести к симметричным колебаниям изолированных молекул воды.

Полосы поглощения, лежащие в области 3000—3400 см⁻¹, а также 1620—1440 см⁻¹, можно отнести к физически адсорбированной воде, т. к. после дегидратации они исчезают, а при напуске паров воды вновь появляются. Появление полосы поглощения 3500 см⁻¹, по-видимому, связано с наличием молекул воды, связанных с катионами. Полоса поглощения 3740 см⁻¹, найденная другими авторами, нами не обнаружена.

Надо отметить полосу поглощения 3400 см⁻¹, которая присутствует в ИК спектрах образца, нагретого до 200°. После термовакуумной обработки образца эта полоса поглощения исчезает и вновь появляется при адсорбции связанных с катионами молекул воды [10].

Сопоставляя наши данные с ИК спектрами ранее исследованных медьсодержащих форм цеолита типа Y, следует отметить, что они заметно отличаются друг от друга.

Институт физической и органической химии им. П. Г. Меликшвили АН ГССР

Поступило 16.03.88

გ. ვილერი, გ. მასურაძე, გ. ჩივაძე, გ. ვაზიაშვილი, რ. ზეგენიძე,
დ. კეკელია, გ. ანთოშინი

ცელენის ფორმის Y ტიპის ცეოლიტის კათალიზატორი აღმინდა

რეზიუმე

3-ქსილოლის დაფანგვის რეაქციაში შესწავლილი სპილენზემცველი Y ტიპის ცეოლიტების კატალიზური აქტივობის დამკიდებულება სპილენის ცეოლიტში შეუვანის ხერხებზე. დადგინდა, რომ ელექტროქიმიური მეთოდით მიღებული მაქსიმალური რაოდენობის სპილენის შემცველი კატალიზატორი გამოიჩინევა მაღალი კატალიზური აქტივობით. მათ ნიმუშის 0.7 სპექტრული განსხვავდება სხვა ცნობილი სპილენზემცველი Y ტიპის ცეოლიტების 0.7 სპექტრულისაგან.

G. V. TSITSISHVILI, G. V. MAISURADZE, G. O. CHIVADZE, V. G. METREVELI,
R. Sh. ZEDGENIDZE, D. V. KEKELIA, G. V. ANTOSHIN

CATALYTIC ACTIVITY OF COPPER FORMS OF Y ZEOLITE

Summary

The dependence of catalytic activity of Y zeolite copper forms on the way of introduction of copper cations into p-xylene oxidation has been studied. It has been established, that, the sample with maximum content of copper, obtained by electro-chemical method is the most active catalytically in the oxidation reaction. The IR-spectra of this sample differ from the other known spectra of copper-containing Y zeolites.



1. Маге Дж., Блажен Дж. В кн.: Химия цеолитов и катализ на нефтяных заводах СССР. под ред. Рабо), М.: Мир, 1980, 2, 220 с.
 2. Брек Д. Цеолитовые молекулярные сита, М.: Мир, 1976, 780 с.
 3. Цицишвили Г. В., Айроникашвили Т. Г., Майсурадзе Г. В., Лаперашвили Л. Я. Авт. свид. № 582201, Бюлл. изобр. № 4, 30.11.1977.
 4. Цицишвили Г. В., Кванталиани Л. К., Гиголашвили Н. Г., Чипашвили С. Л., Микелашвили З. В. Авт. свид. № 988765, Бюлл. изобр. № 2, 15.01.1983.
 5. Миначев Х. М., Шпиро Е. С. Кинетика и катализ, 1986, 27, № 4, 824 с.
 6. Миначев Х. М., Кондратьев Д. А., Дергачев А. А., Бородкин А. Ю., Мишин И. В. Изв. АН СССР, сер. хим., 1983, № 8, 1723 с.
 7. Angell C. L., Schaffer P. C. J. Phys. Chem., 1965, 69, p. 3463.
 8. Uytterhoeven I. B. J. Catal., 1969, 13, p. 425.
 9. Ward I. W. J. Phys. Chem., 1968, 72, p. 1042.
 10. Naccache M., Taarit B. J. of Catalysis, 1971, 22, p. 171.
-



УДК 543.544

Т. Г. АНДРОНИКАШВИЛИ, Л. В. СТРИЛЬЧУК, О. С. БАНАХ

ХРОМАТОГРАФИЧЕСКОЕ РАЗДЕЛЕНИЕ НИЗКОКИПЯЩИХ ГАЗОВ НА ПРИРОДНОМ МОРДЕНИТЕ

В связи с успешным использованием природных цеолитов в различных областях промышленности и сельского хозяйства интерес к ним в последнее время резко возрос. Вот почему свойства природных цеолитов интенсивно исследуются разными методами, в том числе хроматографическим.

В настоящей работе изучено хроматографическое разделение низкокипящих газов на закарпатском природном морденитовом минерале (месторождение около села Липча, партия МП-369), который содержит 72% морденита и 22% клиноптилолита. Цеолит содержит преимущественно катионы кальция и обладает достаточно высокой пористостью (около 25%); он очень прочный, поэтому гранулы его устойчивы к истиранию.

По Бреку [1] морденит принадлежит к высококремнеземистым природным цеолитам с отношением Si/Al, близким к 5. Структура морденита детально исследована Майером [2], установившим, что решетка морденита состоит из цепочек, где на 5 кремнекислородных тетраэдров находится один алюмокислородный. Размеры входов в полости морденита отвечают кинетическим диаметрам молекул и составляют около 0,4 нм. Для исследования природный морденит измельчали и отсеивали фракцию диаметром 0,5—0,1 мм. Навеска (6 г) гранул погружалась в раствор, соответствующей концентрации соляной кислоты (0,8; 1,6; 3,2 М), выдерживалась при комнатной температуре определенное число суток (1—8) при периодическом встряхивании. По истечении времени суспензию переносили на воронку Бюхнера, фильтровали, промывали дистиллированной водой до нейтральной реакции и отсутствия следов хлоридов, высушивали и заполняли хроматографические колонки (1 м × 3 мм).

Эксперименты проводили на хроматографе «Цвет-4» с детектором-катарометром, используя газ-носитель азот или гелий, подаваемый со скоростью 50 мл/мин. Температура колонки изменялась от 273 до 573 К с интервалом 20 К. Образцы активировались в колонках в потоке газа-носителя при 573 К в течение 3 ч.

По данным элюирования были рассчитаны величины удерживаемых объемов V_e инертных и постоянных газов, для которых построены графики зависимости V_e газов от времени обработки цеолита и концентрации соляной кислоты (рис. 1, 2). Сравнение величин удерживаемых объемов газов V_e полученных на исходном (неактивированном)

ванном кислотой) мордените и на образцах, модифицированных раствором HCl (рис. 1), показывает, что при одинаковой температуре для всех газов значения величин V_v на обработанных образцах меньше, чем на исходном (кривые плавно поникаются). С увеличением времени активации раствором HCl кривые зависимости V_v также снижаются. Исключение составляет ксенон. При суточной ак-

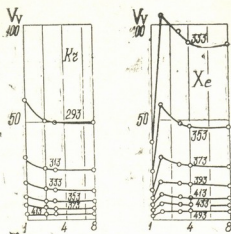


Рис. 1. Влияние времени обработки гранул 3,2 М раствором HCl на удерживаемые объемы криптона и ксенона

тивации образца соляной кислотой удерживаемый объем для ксенона гораздо выше значения, полученного на исходном образце, и лишь по мере возрастания продолжительности активации (3—8 суток) это зна-

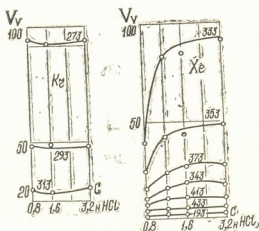


Рис. 2. Зависимость удерживаемых объемов криптона и ксенона от концентрации HCl.

чение уменьшается, оставаясь все-таки больше, чем на исходной форме. Следует подчеркнуть, что суточная активация морденита 3,2 М

кислотой повышает значения удерживаемых объемов для ксенона, азота и метана.

Известно [3], что при обработке морденита соляной кислотой не-большой концентрации одновалентные катионы из структуры цеолита переходят в раствор, и их место занимает протон кислоты, который становится адсорбционным центром взамен катионов натрия и калия, что, по-видимому, и обуславливает уменьшение поляризационного взаимодействия, а, следовательно, и уменьшение времени удер-живания газов.

Обработка природного морденита соляной кислотой различной молярности содействует росту величин удерживания для ксенона. Для других газов наблюдается падение удерживаемых объемов после 4-суточной обработки возрастающими концентрациями кислоты.

На исходной форме морденита при температуре ниже 373 К име-ет место разделение системы: $O_2-N_2-Xe-CO-C_2H_6$ в указанной последовательности элюирования компонентов. Бинарная смесь $Xe-C_2H_6$ хорошо разделяется, начиная с 573 К, и по мере понижения температуры разделение улучшается. После 473К разделяется смесь $CO-C_2H_6$, но понижение температуры ухудшает ее разделение. Смесь O_2-N_2 разделяется при комнатной температуре, но зато O_2-Ag в присутствии газа-носителя гелия не разделяется. На исходном необработанном образце морденита происходит инверсия последовательности элюирования смеси $CO-Xe$. При 333К первым элюируется ксенон, при 373—393К эта смесь почти не разделяется, а с дальнейшим по-вышением температуры происходит изменение последовательности элюирования компонентов — первым покидает колонку CO . После кислотной модификации инверсионного разделения уже не наблюдалось, но разделение этой смеси заметно улучшается.

Расчет коэффициентов селективности K_c разделения бинарных смесей (табл. 1,2) наглядно показывает, что они в значительной ме-ре зависят как от режима кислотной модификации морденита (времени, концентрации используемой кислоты), так и температуры нагрева хроматографической колонки.

Таблица 1

Коэффициенты селективности K_c разделения бинарных смесей на образцах, модифицированных 3,2М HCl, в зависимости от времени активации

Бинарная смесь	Температура колонки, К	Исходный образец	Время обработки, сутки			
			1	3	4	8
$Xe-C_2H_6$	473	0,601	0,333	0,273	0,286	0,251
	413	0,624	0,358	0,359	0,344	0,293
O_2-N_2	333	0,428	0,285	0,290	0,285	0,272
	313	0,507	0,364	0,319	0,333	—
$CO-Xe$	353	—0,168	0,465	0,541	0,562	—
	333	—0,329	0,356	0,467	0,470	—
$Kr-Xe$	413	—	0,667	0,620	0,548	0,608
	333	—	0,700	0,712	0,705	0,703
$Ar-Kr$	313	—	0,970	0,652	—	0,947
	293	—	0,692	0,692	—	0,694
$CH_4-C_2H_6$	413	—	0,850	0,813	0,783	—
$Ar-N_2$	273	—	0,513	0,509	—	0,469
CH_4-CO	373	—	0,258	0,130	0,091	—
	313	—	0,672	0,471	0,490	—

Компонент, записанный в таблицах первым, элюируется из колонки первым.

Таблица 2
Влияние концентрации HCl на коэффициента селективности K_c
разделения бинарных смесей

Бинарная смесь	Температура колонки, К	Исходная форма	Концентрация HCl, М		
			0,8	1,6	3,2
$\text{Xe}-\text{C}_2\text{H}_6$	553	0,596	0,335	0,337	0,145
	433	0,646	0,358	0,348	0,309
O_2-N_2	353	0,449	0,262	—	0,222
	313	0,507	0,334	0,357	0,333
CH_4-CO	353	—	0,307	—	0,222
	313	—	0,509	—	0,490
$\text{CO}-\text{Xe}$	373	—0,087	—	—	0,638
	353	—0,169	0,418	—	0,562
$\text{Kr}-\text{Xe}$	413	—	0,648	—	0,548
	313	—	0,210	0,721	—
CH_4-CO	393	—	0,112	—	0,035
	313	—	0,509	—	0,490
$\text{CH}_4-\text{C}_2\text{H}_6$	413	—	0,826	—	0,787
	353	—	0,860	0,826	—

На модифицированных образцах морденита уже при 353 К четко разделяются инертные газы (рис. 3), причем в присутствии газоносителя азота на хроматограмме наблюдается характерное расположение пиков легких (гелий, неон) и тяжелых (Аргон, Криптон, Хелій) инертных

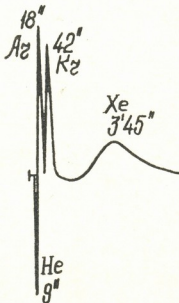


Рис. 3. Хроматограмма разделения смеси инертных газов. Скорость газа-носителя азота — 50 мл/мин. Температура колонки 353 К. Морденит выдержан 3 сут. в 0,8 М HCl

газов по разные стороны от нулевой линии. В этих условиях также наблюдается разделение смеси O_2 — Ar , пик которых находится по разные стороны от нулевой линии.

Таким образом, природный морденит, а также его модифицированная форма, могут быть использованы в качестве адсорбентов для разделения смесей низкокипящих газов.

Институт физической и органической химии им. П. Г. Меликишвили АН ГССР

Луцкий филиал Львовского ордена Ленина политехнического института им. Ленин- ского комсомола

Поступило 03.10.88

т. А. Афонинская З. В., т. Стрильчук, т. Банах

Научно-исследовательский институт газификации и газоочистки газов из природного газа

р. № 1078

Широкоизвестно, что природный морденит-клиноптиолит имеет сложную структуру с кристаллическими включениями. Минеральная составность: морденит 72%, клиноптиолит 22%. Кислота гидрохлорическая (25%) в концентрации 0,1-0,5 моль/литр не оказывает существенного влияния на структуру морденита. Однако при концентрации 1 моль/литр морденит разрушается.

Широкоизвестно, что природный морденит-клиноптиолит имеет сложную структуру с кристаллическими включениями. Минеральная составность: морденит 72%, клиноптиолит 22%. Кислота гидрохлорическая (25%) в концентрации 0,1-0,5 моль/литр не оказывает существенного влияния на структуру морденита. Однако при концентрации 1 моль/литр морденит разрушается.

Широкоизвестно, что природный морденит-клиноптиолит имеет сложную структуру с кристаллическими включениями. Минеральная составность: морденит 72%, клиноптиолит 22%. Кислота гидрохлорическая (25%) в концентрации 0,1-0,5 моль/литр не оказывает существенного влияния на структуру морденита. Однако при концентрации 1 моль/литр морденит разрушается.

T. G. ANDRONIKASHVILI, L. V. STRILCHUK, V. S. BANAKH

CHROMATOGRAPHIC SEPARATION OF LOW-BOILING GASES ON NATURAL MORDENITE

Summary

Chromatographic properties of natural mordenite of Transcarpathian deposit have been studied. The composition of mineral: mordenite 72%, clinoptilolite-22%. The zeolite was affected by hydrochloric acid of different concentrations for several days.

The influence of holding time and concentration of hydrochloric acid on the chromatographic properties of the zeolite with respect to separation of mixtures of low-boiling gases, in particular, inert gases, methane, ethane, carbon monoxide and oxygen has been investigated. The separation of mixtures of low-boiling gases at a meter chromatographic columns was achieved.

ЛITERATURA — REFERENCES

- Брек Д. Цеолитовые молекулярные сита, М.: Мир, 1976.
- Meier W. M. Z. Kristallogr., 1961, 115, № 6, 439.
- Беленская И. М., Дубинин М. М., Криштофори И. И. Изв. АН ССР, сер. хим., 1971, 2635.

ТЕХНОЛОГИЯ

УДК 658.567

В. Н. ГАПРИНДАШВИЛИ, В. М. ГОГЛИДЗЕ, Н. Ш. ДЖИДЖЕИШВИЛИ,
Н. В. КЕЛБАКИАНИ, М. П. МИНДЕЛИ, Н. В. ГАМКРЕЛИДЗЕ

НЕИТРАЛИЗАЦИЯ КИСЛЫХ ГУДРОНОВ БАРИЕВЫМИ ШЛАМАМИ КУТАИССКОГО ЛИТОПОННОГО ЗАВОДА

На территории Батумского нефтеперерабатывающего завода в производственных ямах с общей площадью около 12 га скопилось свыше 40 тыс. тонн кислого гудрона, представляющего собой отходы, образовавшиеся при очистке нефтепродуктов серной кислотой. Состав кислого гудрона колеблется в довольно широких пределах: серная кислота — от кислой реакции до 14 %, органика 69—81 %, механические примеси 2,5—12,5 %, вода — 6—28 %. Температура плавления кислых гудронов колеблется от 35° до 49°.

При всей сложности технологии переработки (сильная коррозия промышленного оборудования) и несовершенстве методов нейтрализации задача использования кислых гудронов в настоящее время приобретает первостепенное значение, т. к., во-первых, не следует допускать омертвления территории, занимаемой кислыми гудронами и, во-вторых, утилизация кислых гудронов в дефицитные строительные материалы обещает значительный экономический эффект. Перспективность расширения исследовательских работ по утилизации кислых гудронов подтверждается также комплексной программой работ Миннефтехимпрома ССР, наметившей обезвреживание и использование кислых гудронов Батумского нефтеперерабатывающего завода до конца 1990 г.

С другой стороны, на Кутаисском литопонном заводе накоплено около 0,8 млн тонн отходов переработки барита, которые вызывают загрязнение реки Риони, прилегающей к заводу территории и атмосферы [1]. Химический состав шламов Кутаисского литопонного завода: Ba — 31,04, SrO₂ — 2,4, Fe₂O₃ — 3,8, CaO — 6,2, SiO₂ — 15,22, Al₂O₃ — 1,5, MgO — 0,04; пл. — 17,24, C — 3,65 % по массе. Фазовый анализ шлама: общее содержание бария 29,76 %, в виде BaSO₄ — 21,4, в виде BaO 1,9, в виде BaCO₃ — 6,73 %.

Анализ состава и физико-химических свойств отходов показывают, что они в основном представлены соединениями бария и требуют специального подхода при реализации их переработки. Тот факт, что около 30 % бария содержится в кислоторастворимой форме, а также присутствие в шламах соединений Ca, Mg и Sr наводит на мысль, что использование этих шламов в качестве нейтрализующего агента кислых гудронов может оказаться эффективным, что и составляет цель настоящей работы.

Для исследований был взят кислый гудрон Батумского нефтеперерабатывающего завода с содержанием серной кислоты от 1,6 до 14 %. Баревые шламы предварительно измельчали до крупности — 1 мм и добавляли к кислому гудрону по стехиометрическому соотношению по серной кислоте. Результаты испытаний показывают (рис. 1), что полная нейтрализация кислых гудронов достигается при температуре 80—90°C в условиях интенсивного перемешивания пульпы и за-

канчивается в течение 15—20 мин. В зависимости от содержания в кислых гудронах серной кислоты, на одну массовую часть гудрона расходовалось 3—15 массовых частей шлама.

Полученный при нейтрализации битуминозный материал по ~~свойствам~~ своему составу сходен с битумосодержащими песками (кирами), которые успешно применяются в дорожном строительстве [2]. В отличие от

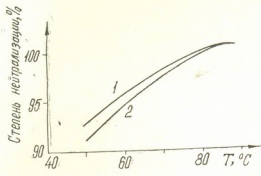


Рис. 1. Зависимость процесса нейтрализации от температуры. 1—содержание H_2SO_4 в кислом гудроне—2%; 2—содержание H_2SO_4 —10%

киров полученный нами продукт переработки кислых гудронов характеризуется низким кислотным числом (0,2—0,4 мг КОН/г), что, очевидно, является одной из причин его высокой водостойкости. Применение продукта нейтрализации кислых гудронов в дорожном строительстве позволит сэкономить дефицитные нефтяные битумы и в некоторой степени решить проблему строительства дорог с использованием местных строительных материалов, в том числе и вяжущих.

Результаты исследований указывают на перспективность предложенной технологии утилизации отходов Батумского нефтеперерабатывающего и Кутаинского литопонного заводов.

Институт неорганической химии
и электрохимии АН ГССР

Поступило 15.08.88

3. გაფინანსობი, 3. გოგლიძე, 6. ჯოვანიშვილი 6. ვილამაძე, 8. მიხეილი,
6. გაგრილიძე

მეცნა გუდრონის თეიტალიზაცია კუთაისის ლიმანის პარანის გარიზონის
ლაპარაკით

რეზიუმე

დადგენილია ბათუმის ნაეთობგადამამუშავებელი ქარხნის ნარჩენების (მუავი გუდრონების) განეტრალიზების შესაძლებლობა ქუთაისის ლიტოპონის ქარხნის ნარჩენებით — ბარიუმის ლამით.

მიღებული ბიტუმინოზური მასალის გამოყენება რეკომენდებულია ას-
ფალტეტონის ნარევების დასამზადებლად — საგზაო მშენებლობისათვის.

V. N. GAPRINDASHVILI, V. M. GOGLIDZE, N. Sh. JIJEISHVILI, N. V. KELBAKIANI,
M. P. MINDELI, N. V. GAMKRELIDZE

NEUTRALIZATION OF ACID TAR WITH BARIUM SLIMES OF
KUTAISI LITHOPON PLANT



Summary

The possibility of neutralization of oil-refining (Batumi) factory wastes with barium slimes of Kutaisi lithopon factory has been studied.

The use of the obtained bituminous material is recommended for purveyance of asphaltconcrete mixture for the road building.

СПОЛЮСАВШИА — ЛИТЕРАТУРА — REFERENCES

1. Гаприндашвили В. Н., Джашвили О. А., Берикашвили И. Г.,
Киладзе Д. Н., Цкалобадзе Л. А. Переработка марганцевых и полиметаллических руд Грузии, выпуск II. Тбилиси: Мецниереба, 1974, с. 143—152.
 2. Нефтебитуминозные породы: перспективы использования, Алма-Ата: Наука, 1982.
-



УДК 661.181.1

К. К. ДЖАПАРИДЗЕ, И. Г. ИОСАВА, Н. А. ТАРАШВИЛИ, С. Г. КАРСАНИДЗЕ,
П. Д. ЦИСЦАРИШВИЛИ

СУЛЬФИРОВАНИЕ КОНЦЕНТРАТА ТКИБУЛЬСКОГО СМОЛЯНОГО ЛИПТОБИОЛИТА

Изучению ткибульского смоляного липтобиолита посвящено множество работ. Эти работы в основном касаются термической классификации угля и применения в народном хозяйстве полученных продуктов. В литературе имеются данные о сульфировании натурального (зольность — 30—35%) и фенолированного смоляного угля [1, 2].

Сульфоугли широко применяются в народном хозяйстве ввиду их легкодоступности и дешевизны. Однако они не выдерживают воздействия щелочных сред вследствие заметной их пептизации в этих условиях [3].

В настоящее время известно большое количество органических ионообменных материалов, применяющихся как непосредственно, так и после предварительной их обработки с целью введения активных групп в эти продукты. Повышение обменной емкости ископаемых углей чаще всего достигается обработкой их серной кислотой различной концентрации.

Целью данной работы явилось сульфирование концентрата смоляного липтобиолита, его термопластификаторов и исследование полученных при этом продуктов.

Для проведения процесса сульфирования нами был применен концентрат смоляного липтобиолита, имеющий следующие характеристики: влажность — 2,0%, выход золы — 14,07%, состав органической массы — С — 82,32%, Н — 8,25%, (O+N+S) — 9,43% (по разности).

Для опытов брали колбу с обратным холодильником и мешалкой. Смеся кислоты и измельченного до размеров 0,5—1,6 мм концентрата (10 г) перемешивалась при комнатной температуре в течение 30 мин, а затем отстаивалась при различных конечных температурах с разной продолжительностью. После окончания опыта охлажденная реакционная масса промывалась дистиллированной водой до нейтральной реакции и доводилась до воздушно-сухого состояния.

Из данных таблицы 1 видно, что продукт сульфирования концентрата характеризуется повышенной тигроскопичностью. Увеличение массы сульфопродукта по сравнению с исходным углем объясняется [3] присоединением сульфогрупп к органической части твердого горючего.

С проведением процесса при сравнительно высокой температуре выход твердого остатка сульфоугля уменьшается [3]. При повышении температуры сульфирования концентрата уменьшается зольность и увеличивается обменная емкость его сульфопродукта. Подобные явления наблюдаются при сульфировании термопластификаторов концентрата, полученных при 450 и 490° (табл. 2).

Результаты сульфирования лигнобиолитового концентрата

Температура сульфирования, °C	Продолжительность сульфирования, ч	Соотношение уголь: кислота	Выход сульфопродукта, г	Зольность сульфопродукта, %	Влажность сульфопродукта, %	Статическая обменная емкость по 0,1 и NaOH, мг-экв/г
80	5	1:5	11,74	—	7,60	2,3
100	3	1:3	12,02	9,98	5,48	2,9
140	"	"	11,72	—	7,48	3,2
170	"	"	12,38	6,83	11,56	3,5
100	1	1:5	12,20	—	7,07	3,0
100	3	"	12,48	9,59	6,63	3,7
100	5	"	12,50	—	9,86	3,8
140	3	"	12,37	7,17	7,49	3,9
160	"	"	12,91	6,29	11,22	4,1
170	"	"	12,38	6,30	11,20	4,6

Из данных таблиц 1 и 2 следует, что предварительная термическая обработка концентрата (до 450 и 490°) не способствует увеличению содержания ионогенных групп в сульфоугле. Продолжительность сульфирования пластификата — три часа. Содержание ионогенных групп определялось по методу [4].

Таблица 2

Результаты сульфирования термопластификата лигнобиолитового концентрата

Температура сульфирования, °C	Соотношение уголь: кислота	Выход сульфопродукта, %	Влажность сульфопродукта, %	Статическая обменная емкость по 0,1 и NaOH, мг-экв/г
Пластификат, полученный при 450 °C				
100	1:3	12,75	8,03	2,60
140	"	12,56	8,65	3,00
100	1:5	13,11	10,18	3,25
140	"	13,11	14,37	3,70
160	"	12,87	15,00	4,10
Пластификат, полученный при 490 °C				
100	1:5	13,32	9,96	2,75
140	"	13,36	12,41	3,60
160	"	12,85	16,79	4,00

Растворимость концентрата смоляного угля в органических растворителях незначительная. Растворимость в бензоле термопластификатов концентрата, полученных при 450 и 490°, составляла соответственно 17 и 19%, в ацетоне — 1,8 и 2,1%. После сульфирования эти продукты становились практически нерастворимыми в бензоле. Максимальной растворимостью в ацетоне характеризуется сульфированный при 100°C пластификат. С повышением температуры сульфирования его растворимость уменьшается (рис. 1).

Как указывалось выше, с ростом температуры сульфирования концентрата полная обменная емкость его сульфопродукта повышается, что обусловлено увеличением в нем содержания слабокислотных групп (рис. 2). Максимальным содержанием сильнокислотных групп характеризуется сульфоуголь, полученный в интервале температур 100—120°. Содержание этих групп в сульфугле, полученном при более повышенных температурах, вначале уменьшается, а затем меняется незначительно (рис. 2).

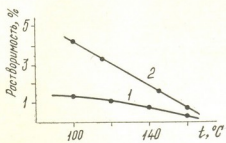


Рис. 1. Растворимость сульфированного 1-концентрата, 2-пластификата (полученного при 490°) в ацетоне

С увеличением времени контакта серной кислоты с углем увеличиваются как полная обменная емкость сульфопродукта, так и обменная емкость по сильнокислотным группам. Обменная емкость по этим группам сульфированного в течение 1 и 3 ч при температуре 100° угля составляла соответственно 0,99 и 1,2 мг-экв/г. При даль-

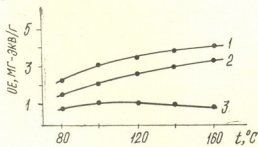


Рис. 2. Влияние температуры сульфирования концентрата на содержание в сульфогле кислых групп. 1. Суммарное содержание кислых групп, мг-экв/г. 2. Содержание слабокислотных групп (по разности), мг-экв/г. 3. Содержание сильнокислотных групп, мг-экв/г

нейшем увеличении времени сульфирования угля содержание ионогенных групп в его сульфопродукте меняется незначительно.

ИК-спектры концентрата и продукта его сульфирования были сняты на приборе UR-20. Значительное уменьшение содержания водорода в сульфогле [2] приводит к исчезновению в спектрах полос поглощения метильных и метиленовых групп при 1640 и 1380 cm^{-1} , отчет-

тиво наблюдающихся в спектрах угля. Это заметно и по оберткам этих полос при 3000—2850 cm^{-1} . Одновременно усиливается интенсивность полос 1190—1120 cm^{-1} . С этими полосами связывается наличие сульфогрупп.

Институт физической и органической химии
им. П. Г. Меликишвили АН ГССР

Поступило 21.06.88

ა. ჯაფარიძე, ი. იოსავა, ნ. თარაშვილი, ს. კარსანიძე, გ. ცისკარიშვილი

ტემპერატურის ზისოვანი ლიფთობილითის კონცენტრატის შეღვიძება

რეზიუმე

ჩატარებულია ტყიბულის ფისოვანი ლიპტობილითის კონცენტრატისა და მისი პლასტიფიკატების სულფინება კონცენტრირებული გოგირდებულით.

სულფინების ტემპერატურის ზრდით, იზრდება სულფონაზირის სრული ტემპერატურა. ძლიერმდევური ჯგუფების მაქსიმალური შემცელებით ხსიათდება 100°-ზე მიღებული სულფონაზირი.

სულფინებული თერმოპლასტიფიკატი პრაქტიკულად უხსნადი ხდება ორგანულ გამსხვილებში.

K. K. JAPARIDZE, I. G. IOSAVA, N. A. TARASHVILI, S. G. KARSANIDZE,
P. D. TSISKARISHVILI

SULPHURATION OF TKIBULI WAX LIPTHOBIOLITE CONCENTRATE

Summary

The sulphuration of Tkibuli wax liptobiolite concentrate and its thermal plasticizers has been conducted by concentrated sulphuric acid in the temperature range 80—170°.

The total volume capacity of sulphure-coal increases with the elimination of sulphuration temperature. The sulphur-coal obtained at 100° is characterized by the maximum content of the highest acid groups.

The sulphurized thermal plasticizer becomes practically insoluble in the organic solvents.

ЛІТЕРАТУРА — REFERENCES

1. Сб. Исследования в области синтеза и модификации высокомолекулярных соединений. Тбилиси: Мецниереба, 1979, с. 129—133.
2. Джапаридзе К. К., Цискаришвили П. Д., Таразвили Н. А., Хотенашвили Н. З. Изв. АН ГССР. сер. хим., 1986, 12, 4, с. 297—300.
3. Аронов С. Г., Скляр М. Г., Тютюникова Ю. Б. Комплексная химико-техническая переработка углей. Киев: Техника, 1968, с. 101—146.
4. Ольшанова К. М., Потапова М. А., Морозова Н. М. Практикум по хроматографическому анализу. М.: ГХИ, 1960, с. 156.

КРАТКИЕ СООБЩЕНИЯ

УДК 669.26

Ф. Н. ТАВАДЗЕ, Д. Д. ЭБАНОИДЗЕ, З. М. ГИЛАУРИ, О. И. МИКАДЗЕ,
Т. Г. ДЗИНДЗИБАДЗЕ, М. А. РАТИШВИЛИ, Д. Д. ЧИПАШВИЛИ,
Б. Г. АМАГЛОБЕЛИ, Дж. И. ЧКОНИЯ

КОЭФФИЦИЕНТ ТЕРМИЧЕСКОГО РАСШИРЕНИЯ СПЛАВОВ СИСТЕМЫ Fe—Cr

В связи с развитием новых видов техники, возникла необходимость создания нетрадиционных герметических соединений типа металл-керамика. В частности, для изготовления электрохимических устройств с твердым электролитом, нашедших применение в таких областях производства, как металлургия, энергетика, химия и машиностроение, необходимо наличие надежно работающих при высоких температурах герметических узлов соединения металл-керамический твердый электролит, заменяющих чисто керамические узлы соединения.

В настоящее время особо важное значение приобретает создание топливных элементов для развития малой и средней энергетики.

Отсутствие жаростойких, технологичных, металлических материалов, обладающих коэффициентом термического расширения (КТР), близким к КТР керамики, лимитирует широкое внедрение вышеупомянутых топливных элементов.

Таблица 1

Химический состав опытных сплавов (% по массе)

№ сплавов	C	Si	Mn	Cr	N	P	S
1	0,05	0,2	0,2	15	0,018		
2	0,04	"	"	15,5	0,018		
3	0,04	"	"	16	0,019		
4	0,04	"	"	16,5	0,019		
5	0,05	"	"	17	0,018		
6	0,05	"	"	17,5	0,019		
7	0,04	"	"	18	0,019		
8	0,047	"	"	20	0,02		
9	0,048	"	"	22	0,02		
10	0,05	"	"	25	0,02		
11	0,049	"	"	30	0,02		
12	0,051	"	"	40	0,027		
13	0,05	"	"	50	0,03		
14	0,047	"	"	60	0,035		
15	0,048	"	"	70	0,032		
16	0,05	"	"	80	0,033		
17	0,051	"	"	85	0,038		
18	0,051	"	"	90	0,04		
19	0,049	"	"	95	0,04		
						Н е б о л е е 0,025	Н е б о л е е 0,02

Поскольку кроме близости коэффициентов термического расширения керамики и металлического материала последний должен обладать также и жаростойкостью, а на жаростойкость железа наиболее благоприятное действие оказывает хром [1], нами исследовано изменение КТР сплавов железа, содержащих 15—95 % хрома.

В таблице 1 приведены составы опытных сплавов.

Выплавку опытных сплавов проводили в высокочастотной печи МГП—52 в магнезитовых тиглях емкостью 6 кг. Слитки зачищали и ковали на прутки Ø 10 мм. КТР опытных образцов (размер Ø 3 x 40 мм) определяли на универсальном дилатометре в диапазоне температур 100—1000°.

Таблица 2

КТР опытных сплавов

Содержание хрома, %	$\alpha, 10^{-6} \text{ }^{\circ}\text{C}^{-1}$									
	Temperatura испытаний, °C									
	100	200	300	400	500	600	700	800	900	1000
15	3,5	6,8	7,3	9,2	9,8	10,0	10,6	10,9	9,9	10,2
15,5	3,7	6,9	7,3	9,2	9,9	10,2	10,8	11,2	11,1	11,6
16	3,7	6,5	7,2	9,1	10,1	10,2	10,5	10,7	10,7	11,7
16,5	3,7	6,8	7,2	9,0	9,0	10,1	10,5	10,8	10,8	11,1
17	3,6	6,7	7,3	9,2	10,0	10,3	10,7	10,9	10,9	11,2
17,5	3,7	6,5	7,3	9,4	10,2	10,6	10,7	10,8	10,9	11,4
18	3,8	6,5	7,3	9,4	10,1	10,4	10,5	10,8	11,0	11,6
20	3,7	6,5	8,0	9,0	9,5	10,6	10,9	11,4	11,5	12,1
22	3,7	6,6	8,0	9,1	9,7	10,7	11,0	11,5	11,8	12,0
25	3,6	6,6	7,9	9,0	9,6	10,6	11,0	11,6	11,8	12,0
30	3,7	6,5	8,0	9,1	9,6	9,9	10,6	11,1	11,5	11,0
40	3,7	7,0	7,5	9,0	9,6	9,9	10,4	10,8	11,1	11,3
50	3,6	7,1	7,7	9,1	9,6	9,9	10,3	10,7	11,0	11,2
60	3,8	7,2	7,6	8,2	8,7	9,4	10,0	10,5	10,9	11,2
70	3,7	7,0	7,5	8,1	8,6	9,4	10,1	10,5	10,9	11,2
80	3,8	7,1	7,6	8,2	8,7	9,3	10,1	10,6	10,9	11,2
85	3,4	6,8	7,2	7,6	8,2	8,7	9,1	9,4	9,8	10,0
90	3,4	6,8	7,2	7,6	8,2	8,7	9,1	9,4	9,7	10,1
95	3,4	6,8	7,1	7,4	8,1	8,6	9,0	9,2	9,7	10,0
Керамика	4,0	6,0	7,6	8,2	8,6	9,0	9,6	9,7	10,0	10,4

В таблице 2 приведены результаты дилатометрических исследований.

Как и следовало ожидать, коэффициент термического расширения исследованных образцов увеличивается по мере повышения температуры, однако, в сплавах, содержащих 15—18% хрома, в связи с протеканием $\alpha \rightarrow \gamma$ превращений, в интервале температур 800—900° происходит сжатие образцов.

Начиная с 20 % хрома, образцы полностью однофазные—ферритные, и величина их КТР зависит от содержания в них хрома, уменьшаясь по мере увеличения.

Сравнения значений КТР керамики с опытными образцами показывают, что наиболее близкие значения с КТР керамическим материалом обладают образцы, содержащие 85—95 % хрома.

Fe—Cr სისტემის ზენადლების თერმული გაფართოების
კოეფიციენტის ცვლილება 20—1000° ტემპერატურულ ინტერვალში.

რეზიუმე

შესწავლილია Fe—Cr სისტემის შენადნობების თერმული გაფართოების
კოეფიციენტის ცვლილება 20—1000° ტემპერატურულ ინტერვალში.
დაღვენილია, რომ 85—95% Cr შემცველობის შენადნობს ქვეს დახლო-
ებით ისეთივე გაფართოების კოეფიციენტი, როგორიც კერამიკას, რაც საშუა-
ლებებს იძლევა შენადნობი გამოვიყენოთ, როგორც კონსტრუქციული მასალა
ელექტროქიმიური მოწყობილობების დასამზადებლად წარმოების ისეთ დაზ-
ვებში, როგორიცაა მეტალურგია, ენერგეტიკა, ქიმია, მანქანიკურნებლობა.

F. N. TAVADZE, D. D. EBANOIDZE, Z. M. GILAVURI, O. I. MIKADZE,
T. G. DZINDZIBADZE, M. A. RATISHVILI, B. G. AMAGLOBELI, J. I. CHKONIYA

THERMAL EXPANSION COEFFICIENT OF Fe-Cr SYSTEM
ALLOYS

Summary

Thermal expansion coefficient (TEC) of Fe-Cr system alloys has been studied in the temperature range 20—1000°C.

It was established, that the alloy containing 85—95% of Cr had approximately the same TEC as ceramics, promoting its application as structural material for the preparation of electrochemical equipment with solid electrolytes used in the industry of metallurgy, energetics, chemistry, engineering.

ლიტერატურა — ЛИТЕРАТУРА — REFERENCES

1. Химушкин Ф. Ф. Нержавеющие стали, М.: Металлургия, 1967.

УДК 541.128

Г. В. ЦИЦИШВИЛИ, А. В. ДОЛИДЗЕ, Г. И. БАЛАРДЖИШВИЛИ,
Л. Т. ТАТИАШВИЛИ

ПОЛУЧЕНИЕ ЦИКЛООЛЕФИНОВЫХ МОНОМЕРОВ

На основе углеводородных мономеров (3-метилициклопентена) получаются ненасыщенные полимеры с комплексом ценных технических свойств. Возможность получения ненасыщенных полимеров 3-, 4-метилцикlopентенов подтверждена в работе [1]. Разработка эффективных технологических процессов получения указанных углеводородных мономеров является важной народнохозяйственной задачей.

Известен ряд методов получения цикlopентеновых углеводородов, но эффективностью и простотой технологического решения привлекает внимание способ одностадийного синтеза метилициклопентенов из циклогексанола. Ранее, при дегидратации циклогексанола на природном алюмосиликате-гумбрите [2] были получены метилициклопентены. Замечено, что кроме дегидратации с получением циклогексена, частично, происходит его последующая изомеризация. Изучена изомеризация циклогексена в метилициклопентен при дегидратации циклогексанола над оксидом алюминия [3] и с применением природного цеолита-клиноптилолита месторождения Ай-Даг Азерб. ССР [4]. В реакции дегидратации циклогексанола использован также цеолит типа L в Fe-форме [5].

В настоящей работе применяли клиноптилолит, обработанный растворами треххлористого железа, фосфорновольфрамовой кислотой и молибденокислым аммонием. Катализаторы получали методом ионного обмена (клиноптилолит с размером зерен 1—2 мм). При ионном обмене не происходило каких-либо механических изменений. Клиноптилолит устойчив против динамических ударов потоков жидкостей и обладает высокой кислотостойкостью.

Дегидратацию циклогексанола и последующую изомеризацию циклогексена в метилициклопентены в присутствии различных катализаторов проводили на установке проточного типа в температурном интервале 300—450° при объемной скорости 0,3 ч⁻¹.

При повышении температуры до 350° возрастает выход 3- и 4-метилициклопентенов, а при 400° и выше селективность по метилициклопентенам уменьшается.

Результаты превращения циклогексанола на природном клиноптилолите и его модифицированных формах в оптимальных условиях приведены в таблице 1.

Результаты превращения циклогексанола (‰) при 350°
и объемной скорости 0,3 ч⁻¹

Наименование катализатора	Циклогексен	1-метилцикlopентен	3- и 4-метилцикlopентены
Клиноптилолит (Кл)	12	55	33
Кл, модифицированный FeCl_3	8	57	35
Кл, модифицированный $\text{H}_7\text{P}(\text{W}_6\text{O}_{24})_6$	8	41	51
Кл, модифицированный $(\text{NH}_4)_6\text{Mo}_7\text{O}_{24}$	5	42	53

Во всех проведенных опытах конверсия циклогексанола составляла 100%, а селективность образования метилцикlopентенов в присутствии клиноптилолита, обработанного раствором молибденовокислого аммония, достигала 95%. Однако, надо отметить, что в катализаторе содержание наиболее важных углеводородов — 3- и 4-метилцикlopентенов составляло 53%.

С целью повышения селективности по метилцикlopентенам изучали превращение полученного катализата (циклогексен — 29%, 1-метилцикlopентен — 23%, 3- и 4-метилцикlopентены — 48%) в присутствии вышеуказанных катализаторов. Результаты превращения смеси метилцикlopентенов и циклогексена в оптимальных условиях приведены в таблице 2.

Таблица 2

Результаты превращения смеси метилцикlopентенов и циклогексена
(циклогексен — 29%, 1-метилцикlopентен — 23%,
3- и 4-метилцикlopентены — 48%) при 350° (‰)

Наименование катализатора	циклогексен	1-метилцикlopентен	3- и 4-метилцикlopентены
Клиноптилолит (Кл)	3	48	49
Кл, модифицированный FeCl_3	1	47	52
Кл, модифицированный $\text{H}_7\text{P}(\text{W}_6\text{O}_{24})_6$	5	46	49
Кл, модифицированный $(\text{NH}_4)_6\text{Mo}_7\text{O}_{24}$	1	46	53

Из приведенных результатов видно, что в присутствии клиноптилолита, обработанного раствором молибденовокислого аммония, выход метилцикlopентенов достигает 99%, а 3- и 4-метилцикlopентенов — 53%.

Полученные результаты дают возможность разработать перспективный для промышленной реализации метод одностадийного получения углеводородных мономеров — 3- и 4-метилцикlopентенов с выходом более 50%. Остальную часть катализата — 1-метилцикlopентен можно использовать для синтеза практически важных биологически активных соединений, и тем самым предлагаемый метод станет безотходным.

შესწავლით საშქლორიანი რეინის, ფოსფორვოლფრამის მეჟავასა და მონიუმის მოლიბდატის ხსნარებით დამუშავებულ კლინოპტილოლითზე ციკლოპექსანოლის გარდაქმნა 3- და 4-მეთილციკლოპენტრანებად. რომლებიც გამოიყენება მნიშვნელოვანი ტექნიკური თვისებების შექმნების პოლიმერების მისალებად.

იღებ ცნობილი მეთოდით ორნიშნული ნახშირწყალბალური მონომერები მიღება 30%-მდე გამოსავლით, ხოლო მოწოდებული კატალიზატორების თანაბისას შერჩეულ ოპტიმალურ პირობებში სამიზნო ნივთიერებები მიღება 53%-მდე გამოსავლით.

G. V. TSITSISHVILI, A. V. DOLIDZE, G. I. BALARJISHVILI,
L. G. TATIASHVILI

THE OBTAINING OF CYCLOOLEFINIC MONOMERS

Summary

Conversion of cyclohexanol into 3- and 4-methylpentens has been studied on clinoptilolite, modified by solution of ferriferrous chloride, wolframic acid and molybdenum acid ammonium. 3- and 4-methylpentens are the monomers for the obtaining of unsaturated polymers with a complex of valuable technical properties.

The pointed hydrocarbon monomers with the yield up to 30% were obtained by the earlier known methods, and in the presence of the recommended catalysts in optimal conditions, the yield of the aim product amounts to 53%.

ლიტერატურა — REFERENCES

1. Черненко Г. М., Титов В. В., Кармин Б. К. Экспресс-информация. Шинная промышленность, М.: 1974, № 4, с. 10.
2. Арешидзе Х. И., Тавартиладзе Б. К. ЖПХ, 1949, т. 22, № 2, с. 119—121.
3. Мусаев М. Р., Мехтиев С. Д. Докл. АН Азерб. ССР, 1964, т. 20, № 8, с. 27—30.
4. Мехтиев С. Д., Мусаев М. Р., Мамедов А. А. Авт. свид. № 695997. Бюлл. изобр., 1979 г., 41.92.
5. Левина С. А., Ермоленко Н. Ф., Николина В. Я., Борисович А. Д., Прокопович А. А., Громова Г. П., Онисько А. И. Изв. АН БССР, сер. хим., 1970, № 23, с. 9—14.

ଓଡ଼ିଆ ଲେଖନ

1990, T. 16, № 2

СЕРИЯ 2

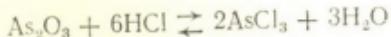
卷之三



УДК 547.42 + 546.19

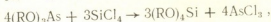
క. గుండ్రాల్లి, నె. కుజపొల్చి, ఉ. తిరుపూరుల్లి, ఆ. నెగది

დარიშხანშემცველი ნაერთებიდან ამერად უკელაზე ფართოდ დარიშხანის(III) ქლორიდი გამოიყენება. იგი წარმოადგენს საწყის მასალის განსაკუთრებული სისუფთავის მეტალური დარიშხანისა და დარიშხანოვენი ანტიღირებული გალოუმის არსენიდის ჟპიტაქსილური სტრუქტურების დაღის მისაღებად, გალოუმის არსენიდის ჟპიტაქსილური სტრუქტურების დასამზადებლად და სხვ. ამ უკანასკნელთა გასუფთავება მინარევებისაგან ცნობილი მეთოდებით განხელებულია, ამიტომ მარალი სისუფთავის გარდაქმნის პილი მეთოდებით განხელებულია, მიღების ძირითად პირობას საწყისი მასალის — სამჭელორიანი პროდუქტების მიღების ძირითად პირობას საწყისი მასალის — სამჭელორიანი დარიშხანის ხარისხი წარმოადგენს [1-3].



მხედველობაში იქნა რა მიღებული დარიშხანოვანი შეას ეთეობის
დიდი რეაქციისუნარიანობა [12—14], წინამდებარე ნაშრომში გამოვიყვლი-
კო სიმეტრიული ტრიალისტსენტრების ურთიერთქმედება სილიციუმის(IV)
ჭრის განვითარების გარეშე.

აღმოჩნდა, რომ ამ შემთხვევაშიც, ისევე როგორც დარიშვანოვან ახალი- რიცხვთან ურთიერთქმედებისას [15–17], მიმდინარეობს მიმოცვლის რეაცია დარიშვანობის (III) ქლორიდის წარმოქმნით:



Example: $R \equiv C_5H_{11}$ is octane. C_5H_{11} :

პროცესი მიმდინარეობს გამშველის გარეშე. ოვაჟუა ძლიერ ეგზოთერ-
მულია. უკეთესი შედეგი მიღება იმ შემთხვევაში, თუ ოთხქლორიანი სილი-
კუმი აიღება 20%-ით ჭრიბად თეორიულთან შედარებით. იმ შემთხვევაში
კლორი გამოსავალი შეაღებს 87 %-ს. სარეაქციო მასა-
დარიშხანის(III) ქლორიდის გამოსავალი შეაღებს 87 %-ს. სარეაქციო მასა-
დარიშხანის(III) ქლორიდის გამოსავალი შეაღებს 87 %-ს. მასალია, მიზნობრივი
ში SiCl_4 -ის მასური წილის შემდგომი გაზრდისას, მართალია, მიზნობრივი
პროცესის გამოსავალი არ მცირდება, მაგრამ სამაგიროდ სამქლორიანი და-
რიშხანის ხარისხი მნიშვნელოვნად უარესდება: ამ შემთხვევაში მიზნობრივი



პროდუქტთან ერთად გადაიღება სილანის ორგანული ნაწარმები, რის გამოც
დარიშხანის (III) პროცენტული შემცველობა საბოლოო პროდუქტში უკიდურესად
თვის მცირება დარიშხანის (III) ქლორიდთან შედარებით.

ტრიიზოტომილს ურთიერთურებულ გრაფიკაზე დატანილია სილიკონის (IV)
ქლორიდის (III) შემცველობის კონცენტრაცია გრ. (0,1
მოლი) ტრიიზოტომილარსენიტს საწევთი ძაბრიდან თანდათანობით მატებენ
153,0 გ (0,9 მოლი) ოთხელორიან სილიკონში. 0,5 სთ-ის შემდეგ საწევთ
ძაბრის ცელიან გაზიმიმაწოდებელი მილით და სარეაქციო მასას დენიან შემცველ
ებული წნევის ქვეშ მშრალი CO_2 -ის გარემოში. შეაგროვებენ $80-85^\circ$ ($p=$
 $120-130$ მმ ვერცხ. სეტი) გადადენილ ფრაქციას. მათ უკანასკნელის ხელმე-
ორედ გადადენილ ლებულობენ $157,2$ გ (86,6%) სამქლორიან დარიშხანს
უფერო სითხის სახით, რომლის ღულილის ტემპერატურაა $128-130^\circ$ ($p=$
 740 მმ). ლიტერატურული მონაცემებით [18] ღულილის ტემპერატურაა
 $130-131.3^\circ$. ნაპოვნია, %: As 41,11. AsCl_3 . გამოთვლილია, %: As 41,32.

ანალოგურად ჩატარდა დანარჩენი ცდებიც.

საწყისი ნივთიერებების ჩატვირთვისა და მიზნობრივი პროდუქტის გამო-
საცლიანობის შესახებ მონაცემები მოტანილია ცხრილში 1.

ცხრილი 1

გამოსავალ ნივთიერების ჩატვირთვა და მიზნობრივი პროდუქტის გამოსაცლიანობა

გამოსავალი ნივთიერებები				დარიშხანის (III) ქლორიდის გამოსაცლიანობა		
(RO) ₃ As	SiCl ₄		R	გ	მოლი	%
R	გ	მოლი		გ	მოლი	
ძო-C ₅ H ₁₁	336,0	1,00	153,0	0,90	157,2	0,87
იზो-C ₅ H ₁₁	168,0	0,50	76,5	0,45	76,4	0,42
ძო-C ₅ H ₁₁	130,0	0,39	59,2	0,35	58,5	0,32
ე-C ₅ H ₁₁	336,0	1,00	153,0	0,90	155,2	0,85
ე-C ₅ H ₁₁	168,0	0,50	76,5	0,45	76,0	0,42

ზემო-ღიზნული შედეგების საფუძველზე შეიძლება დავასკვნათ, რომ
სილიკონის (IV) ქლორიდის მოქმედებით სიმეტრიულ ტრიალკილარსენი-
ტებთან „მშრალი“ სამქლორიანი დარიშხანი მიღება.

თბილისის ი. გ. გვარიშვილის სახელობის სახელმწიფო უნივერსიტეტი

შემოსულია 15.05.1989

R. D. GHIGAURI N. G. CHAVCHANIDZE, I. I. GHUASHVILI, M. A. INJIA

THE INTERACTION OF SILICON (IV) CHLORIDE WITH TRIALKILARSENITES

Summary

The interaction of silicon (IV) chloride with trialkilarsenites of general formula $(\text{RO})_3\text{As}$, where $\text{R}=\text{C}_5\text{H}_{11}$ and $\text{iso-C}_5\text{H}_{11}$, has been studied in different conditions.

It has been established, that „dry“ arsenic (III) chloride is the main product of the reaction at the room temperature and without use of organic solvent.

The yield of result product fluctuates in the range 83,0-86,6%.

ДЕЙСТВИЕ ХЛОРИДА КРЕМНИЯ (IV)
НА ТРИАЛКИЛАРСЕНИТОВ

Резюме

Исследовано взаимодействие хлорида кремния (IV) с триалкиларсенитами общей формулы $(RO)_3As$, где $R = C_5H_{11}$ и изо- C_5H_{11} , в разных условиях. Установлено, что продуктом реакции при комнатной температуре и без применения органического растворителя является «сухой» треххлористый мышьяк.

Выход конечного продукта колеблется в пределах 83,0—86,6%.

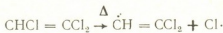
ЛІТЕРАТУРА — REFERENCES

1. Кузмин Н. М., Федоров В. А., Филиппов Э. П. ДАН СССР, 1972, т. 200, 4, 909.
2. Федоров В. А., Филиппов Э. П., Первушина Р. К. Тезисы докладов на IV Всесоюзной конференции по методам получения и анализа веществ особой чистоты. Горький, 1972, с. 25.
3. Федоров В. А., Филиппов Э. П., Васильева В. И., Пашикянин А. С., Соколов Е. Б. ЖПХ, 1973, 4, 736.
4. Брауэр Г. Руководство по неорганическому синтезу, том 4, М.: Мир, 1985, с. 615.
5. Partington J. R. J. Chem. Soc., 1929, 2577.
6. Smith R. C. Ind. Eng. Chem., 1919, 11, 109.
7. Калякин Ю. В., Ангелов И. И. Чистые химические реагенты. М.: Госхимиздат, 1955, 584 с.
8. Cambi L. J. Chem. Ind. Appl., 1924, 6, 527.
9. Mellor J. W. A Comprehensive Treatise on Inorganic and Theoretical Chemistry. London — New-York — Toronto, 1931, 237.
10. Biltz W., Sapper A., Z. Anorg. Allgem. Chem., 1932, 203, 277.
11. Лебедева З. М., Луфт Б. Д. В кн.: Мышьяк. Сборник докладов Всесоюзного совещания, Тбилиси, 1978, с. 274.
12. Камай Г. Х., Гигаури Р. Д., Чернокальский Б. Д., Угулава М. М. ЖХХ, 1971, 41, 1506.
13. Там же, 1285.
14. Гигаури Р. Д., Камай Г. Х., Угулава М. М. ЖХХ, 1971, 41, 336.
15. Hiltzig G., Geiter A., Lieb Ann., 1859, 111, 159.
16. Michaelis A., Jenaische Z. Med. Naturw., 1871, N 6, 239.
17. Фурман А. А., Рабовский Б. Г. Основы химии и технологии безводных хлоридов. М.: Химия, 1970, с. 45.
18. Справочник химика, т. II, М.—Л.: Химия, 1965, с. 132.

УДК 547.653

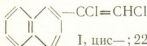
Р. В. КЕРЕСЕЛИДЗЕ, В. Г. ЦИЦИШВИЛИ, Е. Д. ЛУБУЖ,
Д. Б. РАЗМАДЗЕСИНТЕЗ ДИХЛОРВИНИЛЬНЫХ ПРОИЗВОДНЫХ
НАФТАЛИНА

Исследуя высокотемпературную конденсацию полициклических ароматических углеводородов с полихлоролефинами, нами было изучено взаимодействие нафталина с трихлорэтиленом. Процесс проводили по описанной ранее методике в пустой кварцевой трубке при 535°. Скорость подачи смеси реагентов регулировали микродозатором. Реакция в общем виде протекает по схеме:

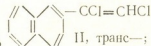


Нафталин, имея два активных реакционных центра в α - и β -положении, образует два радикала, легкость образования которых и стабильность неодинаковы. Вероятность преимущественного образования β -радикала выше. Это было подтверждено нами ранее при изучении продуктов конденсации нафталина с тетрахлорэтиленом [1]. Конденсация протекает преимущественно по β -углеродному атому и частично по α -положению. Соотношение α - и β -изомеров составляло 1:5. Образование α - и β -замещенных нафталина ожидалось нами и в изучаемой реакции с трихлорэтиленом. Кроме того, нами ранее было установлено, что промежуточный радикал углеводорода может атаковать молекулу трихлорэтилена с двух сторон — преимущественно со стороны группы $\text{CHCl} =$, а также частично и со стороны $\text{CCl}_2 =$. Такое положение объясняется неодинаковой стабильностью промежуточных радикалов, образующихся после присоединения углеводородного радикала. Радикал $-\text{CHCl} - \dot{\text{C}}\text{Cl}_2$ более устойчив, чем $-\dot{\text{C}}\text{Cl}_2 - \text{CHCl}$. Кроме того, атака трихлорэтилена со стороны $\text{CHCl} =$ группы стерически менее затруднена.

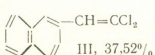
В связи со сказанным, нами предполагалось, что при высокотемпературной конденсации нафталина с трихлорэтиленом могут образоваться все теоретически возможные изомеры. Действительно, после разгонки конденсата была выделена фракция 123—134° (2 мм), представляющая собой, по данным ГЖХ, смесь шести предполагаемых соединений:



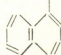
I, цис-; 22,88%



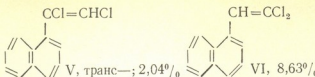
II, транс-; 25,83%



III, 37,52%



IV, цис-; 3,09%



Структура их была доказана методами ПМР, ИКС и элементным анализом. Содержание изомеров в смеси неодинаково. На долю соединений I, II, III приходится 86,23% от массы. Дробной кристаллизацией в метаноле из этой смеси нами выделено чистое вещество III.

В спектре ПМР III присутствует синглет в области хим. сдвигов $\delta = 6,9$ м.д., относящийся к водороду в заместителе. В спектре фракции 123—134° (2 мм) присутствуют следующие сигналы протонов в заместителе, δ , м.д.: 6,48с (цис-I), 6,66с (транс-II), 6,8с (III). В спектре фильтрата, оставшегося после выделения значительной части соединения III, присутствуют следующие сигналы протонов в заместителе: 6,34с (цис-I), 6,5с (транс-II), 6,67с (VI) и 6,7с (III). Сигналы протонов IV и V в спектре не проявляются из-за малой концентрации.

В ИК-спектре чистого III кроме полос, относящихся к β -замещенному нафталину, присутствуют полосы при 1610, 956, 912, 898, 640 cm^{-1} , относящиеся к группе $-\text{CH}=\text{CCl}_2$ [2].

В ИК-спектре фильтрата, оставшегося после отделения основной массы соединения III, кроме полос, относящихся к III, присутствуют дополнительно следующие линии: сильная пара полос при 900 и 816 cm^{-1} , относящаяся к производным транс-дихлорэтилена; сильные полосы при 832, 708, 564 cm^{-1} , относящиеся к производным цис-дихлорэтилена (внеплоскостные деформационные колебания =CH); полосы при 926, 650 cm^{-1} , относящиеся к группе $-\text{CH}=\text{CCl}_2$, находящейся в α -положении; три сильные линии в области 784 cm^{-1} , относящиеся к трем соседним атомам водорода $-\text{CH}$ ядра; сильная полоса при 758 cm^{-1} , относящаяся к колебаниям C—Cl связи в группе =CHCl для цис-изомера; сильная полоса при 808 cm^{-1} — колебания C—Cl в группе =CHCl для транс-изомера. Все указанные характеристические полосы присутствуют и в исходной фракции 123—134° (2 мм). Полученные результаты по ИК-спектрам вполне согласуются с литературными данными, относящимися к сходным соединениям [2—6].

Экспериментальная часть

УФ-спектры записывали на Specord UV в этаноле.

ИК-спектры снимали на Specord M-80 в таблетке КBr.

Спектры ПМР регистрировали на приборе Perkin—Elmer с рабочей частотой 60 МГц в CCl_4 , внутренний стандарт ГМДС.

ГЖХ-анализ проводили на приборе «Хьюллет Паккард», колонка 50 \times 0,25 мм с OV-101, ПИД, газ-носитель гелий, 30 мл/мин.

Реакция трихлорэтилена с нафталином. Смесь 52,56 г (0,4 моль) трихлорэтилена и 25,6 г (0,2 моль) нафталина микродозатором пропускали через трубку в течение 90 мин при 535°. Из полученного конденсата (60 г) после отгонки исходных реагентов выделено 4,5 г фракции 123—134° (2 мм). Выход 10,6% от теоретического и 50% на вступивший нафталин. Дробной кристаллизацией в метаноле получены серовато-белые хлопьевидные кристаллы β -изомера-1,1-дихлор-2-(нафтил-2)этен, (III), т. кип. 134° (2 мм), т. пл. 86°. УФ-спектр, λ_{max} в этаноле, нм: 204, 213, 225, 252, 260, 284, 293, 300, 305 (ε 1695, 4520, 4331, 6591, 6403, 3013, 3578, 3013, 3201). ИК-спектр (ν , cm^{-1}): 3056, 3048, 3008, 1610, 1590, 1510, 1467, 956, 912, 898, 874, 824, 748, 640. Найдено: С 64,6; Н 4; Cl 31,77%. $M=210$. $\text{C}_{12}\text{H}_8\text{Cl}_2$. Вычислено: С 64,57; Н 3,58; Cl 31,84%. $M=223$.

Элементный анализ фракции 123—134° (2 мм) идентичен с анализом соединения III.

Институт физической и органической химии им. П. Г. Меликишвили АН ГССР

Поступило 07.04.88



რეზიუმე

დადგენილია, რომ ტრიქლორეთილენის მაღალტემპერატურული კონდენსაციით ნაფტალინაზ 535° მიღება ნაფტალინის დიქლორვინილწარმოებულების ნარევი, რომელიც შედგება ექვსი იზომერისაგან. ნარევიდან გამოყოფილია 1,1-დიქლორ-2(ნაფტრ-3)ეთენი.

R. V. KERESELIDZE, V. G. TSITSISHVILI, E. D. LUBUZH D. B. RAZMADZE

SYNTHESIS OF DICHLOROVINYL DERIVATIVES OF NAPHTHALENE

Summary

It has been shown that at high-temperature condensation of trichloroethylene with naphthalene (at 535°) a mixture of dichlorovinyl derivatives of naphthalene comprising six isomers has been obtained. 1,1-dichloro-2(naphthyl-2) ethene has been isolated from the obtained mixture.

ლიტერატურა — REFERENCES

1. Кереселидзе Р. В., Меликадзе Л. Д. Сообщ. АН ГССР, 1987, 127, № 3, 529.
2. Гасанов Р. Г. Оптика и спектроскопия. Сб. 3, 1967, 76.
3. Тапаве К., Saeki S. Bull. Chem. Soc. Jap., 1974, v. 47, 2545.
4. Зеленская Л. Г., Иогансен А. В., Романцова Г. И. Изв. АН СССР, сер. физ., 1962, 1272.
5. Беллами Л. Инфракрасные спектры сложных молекул. М., 1963.
6. Hatch L. F., D'Amico I. I., Ruhnke E. V. J. Am. Chem. Soc., 1952, v. 74, 123.

УДК 547.972.

Т. Г. САГАРЕИШВИЛИ, М. Д. АЛАНИЯ

ФЕНОЛЬНЫЕ СОЕДИНЕНИЯ

CERCIS SILIQUASTRUM, *C. CANNADENSIS* и *FRAXINUS ORNUS*

Продолжая изучение интродуцированных на территории Грузии растений на содержание биологически активных веществ, химическому изучению подвергали *Cercis siliquastrum* L., *C. cannadensis* L. (сем. Leguminosae) и *Fraxinus ornus* L. (сем. Oleaceae) [1].

Двумерной хроматографией спирто-водного экстракта в листьях *C. siliquastrum* и *C. cannadensis* обнаружено по 3 вещества флавоноидной природы, а в листьях *F. ornus* — флавоноида и одно кумариноидное соединение.

Максимальное извлечение фенольных соединений из сырья было осуществлено 80%-ным метанолом. После отгонки спирта и очистки водных остатков хлороформом в экстрактах *C. siliquastrum* и *F. ornus* выкристаллизовывались индивидуальные соединения: в первом из них флавоноид — вещество 1, во втором кумарин — вещество 2, а из *C. cannadensis* — сумма флавоноидов. Из последней препаративной Б/Х выделили вещество 3.

Вещество 1 и вещество 3 — бледно-желтые игольчатые кристаллы состава $C_{22}H_{20}O_{13}$ M 464; т. пл. 191—193°, $[\alpha]_D^{20} = 145,5^\circ$ [с 0,05; спирт-диметилформамид (99,5:0,5)]. $\lambda_{\text{max}}^{C_2H_5OH}$: 350, 300, 260 нм; ν_{max} (в вазелиновом масле): 3270 (OH), 1660 (C=O γ — пирона), 1580, 1560, 1510 (C=C) cm^{-1} и др.

На основании количественного кислотного и ферментативного гидролиза, физико-химических констант, качественных реакций, по своей подвижности на Б/Х, УФ-, ИК-, ПМР-спектрального анализа как самого вещества, так и продуктов их превращения вещества 1 и 3 идентифицированы как мирицетин-3- α -L-рамнозид(мирицитрин) [2].

Таким образом, из обоих видов *Cercis* выделен и идентифицирован основной флавоноид — мирицитрин.

Вещество 2 — бледно-желтые кристаллы, состава $C_{15}H_{16}O_9$. т. пл. 214 — 216° $\lambda_{\text{max}}^{C_2H_5OH}$: 340, 290, 255 нм; ν_{max} (в вазелиновом масле): 3600 — 3100 (OH), 1705 (C=O α —пирона), 1640, 1575 (C=C) cm^{-1} и др. Подвергается кислотному гидролизу с образованием эскулетина и D-глюкозы.

На основании физико-химических данных, по подвижности на Б/Х и ТСХ (на силикагеле) в разных системах растворителей, качественными реакциями вещество 2 отождествлено с гликозидом эскулетина — цихорином [3].

უსლული ნახტობი CERCIS SILIQUASTRUM, C. CANNADENSIS
და FRAXINUS ORNUS-დან

რეზიუმე

შესწავლით საქართველოს ტერიტორიაზე ინტროდუცირებული სამი მცენარის ფენოლური შედგენილობა.

Cercis siliquastrum L. და C. cannadensis L. ფოთლებისა გამოყოფილია და იდენტიფიცირებულია ფლავონოიდური გლიკოზიდი — მირიცრინი, ხოლო Fraxinus ornus L. — ციხორინი.

T. G. SAGAREISHVILI, M. D. ALANIA

PHENOLIC COMPOUNDS FROM *CERCIS SILIQUASTRUM*, *C. CANNADENSIS* AND *FRAXINUS ORNUS*

Summary

The phenolic composition of 3 introduced plants has been studied in Georgia.

Flavonoid glycoside miricitrin has been isolated and identified from the leaves of *Cercis siliquastrum* L. and *C. cannadensis* L.; cumarin glycoside-eichorin has been identified from *Fraxinus ornus* L.

ლიტერატურა — ЛИТЕРАТУРА — REFERENCES

1. Башинджакели И. Д., Герменяк В. Я. Деревья и кустарники Тбилисского ботанического сада. Тбилиси: Мецниереба, 1972.
 2. Сагареишвили Т. Г. Автореф. дисс. канд. фарм. наук, М.: 1984.
 3. Steinegger E., Brantschen A. Pharm. Acta Helv., 1959, v. 34, n 8/9, s. 334--344.
-

УДК 547.918

Т. Ш. КОРКАШВИЛИ, Т. А. ПХЕИДЗЕ

ДИНАМИКА НАКОПЛЕНИЯ СТЕРОИДНЫХ ГЛИКОЗИДОВ В КОРНЯХ И КОРНЕВИЩАХ *RUSCUS PONTICUS*. WOR.

В растениях рода *Ruscus*, произрастающих на территории ГССР, установлено наличие стероидных гликозидов, из которых нами выделены дезглюкорусцин, русцин, дезглюкорускозид [1]. Сумма стероидных гликозидов из подземных частей *Ruscus ponticus*. Wor. — иглицы понтийской сем. *Liliaceae* проявляет биологическую активность [2].

С целью установления возможности использования подземных частей иглицы понтийской для получения предполагаемого лекарственного препарата нами изучена сезонная динамика содержания в них суммы стероидных гликозидов. Образцы для анализа собирали 25—30 числа каждого месяца в течение года.

Воздушно-сухое измельченное до размера частиц 0,25—0,5 мм сырье (точная навеска) подвергали форэкстрагированию хлороформом, затем сапонины извлекали 80%-ным спиртом; спирт отгоняли, а водную суспензию количественно переносили в мерную колбу, вместимостью 50 мл. Объем доводили до метки, жидкость фильтровали, определенное количество раствора хроматографировали на ТСХ. Дальнейший количественный анализ проводили по разработанному ранее нами методу [3]. Результаты сведены в таблице 1.

Таблица 1

Динамика содержания стероидных гликозидов в корнях и корневищах *Ruscus ponticus*. Wor., произрастающей в Грузии (в % от массы возд.-сух. сырья)

Место и год сбора сырья	№ опытов	Месяц сбора											
		I	II	III	IV	V	VI	VII	VIII	IX	X	XI	XII
Мцхетский р-он, с.	1	7,1	7,0	6,0	7,0	7,6	8,1	8,5	8,9	7,3	7,6	7,6	8,3
	2	6,9	6,9	6,0	7,0	7,5	8,0	8,5	9,0	7,2	7,6	7,7	8,4
Шиомгвиме, 1986	3	7,0	6,8	6,1	6,9	7,6	8,1	8,5	9,0	7,3	7,5	7,5	8,2
	среднее	7,0	6,9	6,0	7,0	7,6	8,1	8,5	9,0	7,3	7,6	7,6	8,3

Как видно из полученных данных, содержание стероидных гликозидов в подземных частях иглицы понтийской в течение года колеблется в пределах 6,0—9,0%. Максимальное их накопление отмечено в июле-августе и в декабре месяцах. Сбор сырья для выделения стероидных гликозидов следует проводить в этот период.

Институт фармацевтической
им. И. Г. Кутателадзе
АН ГССР

Поступило 06.09.88



შესწავლით სტეროიდული გლიკოზიდების დაგროვების დინამიკა მცნ-ნარე თაგვისარას — *Ruscus ponticus*. Wor მიწისქეშა ორგანოებში.

დადგენილია, რომ სტეროიდულ გლიკოზიდებს გააჩნიათ დაგროვების ორი პიკი — ივლის-აგვისტოს ბოლო რიცხვებსა და დეკემბრის თვეს მეორე ნახევარში, რაც უფლებას გვაძლევს რეკომენდაცია გაუშრიოთ მცნარის შე-გროვებას წელიწადის ამ დროს.

T. S. KORKASHVILI, T. A. PKHEIDZE

THE DYNAMICS OF THE ACCUMULATION OF STEROIDAL GLYCOSIDES IN THE ROOTS AND RHIZOMES OF *RUSCUS PONTICUS* WOR

Summary

The dynamics of accumulation of steroidal glycosides in the underground parts of *Ruscus ponticus* Wor. has been studied.

If has been established that the contents of steroidal glycosides has two maximum peaks at the end of July-August and at the end of December, which leads to the possibility of harvesting of this raw material in this time of year.

ლიტერატურა — REFERENCES

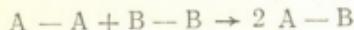
1. Коркашвили Т. Ш., Джикия О. Д., Вугальтер М. М., Пхендзе Т. А., Кемертелидзе Э. П. Сообщения АН ГССР, 1985, 120, № 3, с. 561.
2. Кереселидзе Е. В., Ппайдзе Т. А., Кемертелидзе Э. П., Хардзиани С. Д., Джапаридзе Т. И., Махарадзе Ш. К. Сообщения АН ГССР, 1975, 78, № 2, с. 485.
3. Коркашвили Т. Ш., Сарабунович А. Г., Пхендзе Т. А., Явич П. А., Кемертелидзе Э. П. Фармация, 1988, № 5, с. 35.

УДК 547.64

М. И. ГВЕРДЦИЕЛИ, Р. О. ДЕВДАРИАНИ

АЛГЕБРАИЧЕСКОЕ РАССМОТРЕНИЕ РЕАКЦИИ ОБРАЗОВАНИЯ ГАЛОГЕНВОДОРОДОВ И ХАЛКОГЕНВОДОРОДОВ

Матрицы смежности графов и их многочисленные вариации широко используются для описания строения химических соединений и их превращений [1]. Одной из разновидностей матриц смежности является ПНС-матрица, диагональные элементы которой представляют собой порядковые номера химических элементов, а недиагональные элементы — кратность связей в молекуле [2]. Алгебраическая запись модельной реакции присоединения двух простых веществ A—A и B—B (где A и B одновалентные элементы)



в виде ПНС-матриц имеет вид:

$$\left\| \begin{array}{cccc} Z_A & 1 & 0 & 0 \\ 1 & Z_A & 0 & 0 \\ 0 & 0 & Z_B & 1 \\ 0 & 0 & 1 & Z_B \end{array} \right\| \rightarrow \left\| \begin{array}{ccc} Z_A & 1 & 0 & 0 \\ 1 & Z_B & 0 & 0 \\ 0 & 0 & Z_A & 1 \\ 0 & 0 & 1 & Z_B \end{array} \right\|$$

где: Z_A и Z_B — порядковые номера химических элементов A и B; «1» — кратность связей в молекулах A—A, B—B и A—B; «0» — обозначает отсутствие связей между атомами. Так как начальная и конечная система содержат по две молекулы, обе матрицы квазидиагональны.

Рассмотрим выражение:

$$\Delta_f = \Delta_f - \Delta_i, \quad (1.1)$$

где Δ_i — значение детерминанта ПНС-матриц для реагентов, Δ_f — значение детерминанта ПНС-матриц для продуктов, Δ_r — изменение значения детерминанта в результате реакции. Оказалось, что для рассмотренной выше реакции:

$$\Delta_r = (Z_A - Z_B)^2 \quad (1.2)$$

Таким образом, процесс сопровождается увеличением значения детерминанта ПНС-матриц, когда $Z_A \neq Z_B$.

Алгебраическая запись модельной реакции присоединения двух простых веществ A—A и B (A — одновалентный элемент, B — двухвалентный)



в виде ПНС-матриц имеет вид:

$$\left\| \begin{array}{cc} Z_A & 1 & 0 \\ 1 & Z_A & 0 \\ 0 & 0 & Z_B \end{array} \right\| \rightarrow \left\| \begin{array}{ccc} Z_A & 1 & 0 \\ 1 & Z_B & 1 \\ 0 & 1 & Z_A \end{array} \right\|$$

Для рассмотренного процесса выражение (1.1) принимает вид:

$$\Delta_r = (Z_B - 2 Z_A)$$

Таким образом, процесс сопровождается увеличением значения детерминанта ПНС-матриц, когда $Z_B > 2 Z_A$.

Оказалось, что значения Δ_r в ряду галогенводородов и халкогенводородов растут параллельно со значениями ΔH°_{298} , ΔG°_{298} и S°_{298} [3]:

Соединение	HF	HCl	HBr	HI	H ₂ O	H ₂ S	H ₂ Se	H ₂ Te
Δ_r	64	256	1156	2764	6	14	32	50
ΔH°_{298}	-64,7	-22,06	-8,67	6,35	-57,796	-5,0	8	23,83
ΔG°_{298}	-65,2	-22,78	-12,75	0,425	-54,638	-8,08	14,71	20,36
S°_{298}	41,51	44,664	47,464	49,35	45,106	49,16	52,3	54,69

Тбилисский государственный университет
им. И. Джавахишвили

Поступило 16.06.87

в. გვირჩითმელი, რ. დევდარიანი

კალოგიცებალადებისა და ჰალოგენეფებალადების წარმოქმნის
რიანციისას პლაზარული განხილვა

რეზიუმე

განხილულია ქიმიური რეაქციების მატრიცების სახით ჩაწერის ალგებრული მეთოდი, თუმცა პარამეტრის — ქიმიური ელემენტის რიგობრივი ნომრისა და ქიმიური შეტყობინების გამოყენებით. ნაპოვნია კორელაცია ჰალოგენულადებისა და ჰალკოგენულადების წარმოქმნის რეაქციების შესაბამისი მატრიცების დეტერმინანტების მნიშვნელობასა და მათ თერმოდინამიკურ მახსიათებლებს შორის.

M. I. GVERDTSITELI, R. O. DEVDARIAN

ALGEBRAICAL CHARACTERISTIC OF THE REACTIONS OF HYDROHALOGENS AND HYDROHALCOGENS FORMATION

Summary

The algebraical method of reactions writing in forms of matrix has been considered. The ordinal numbers and the multiplicity of chemical bonds have been assumed as the basis. Correlation has been found between the determinants of matrix of the reactions of hydrohalogens and hydrohalogens formation and their thermodynamic characteristics.

ЛИТЕРАТУРА — REFERENCES

1. Славина З. Теоретические аспекты явления изомерии в химии. М.: Мир, 1984.
2. Гвердцители М. И., Девдариани Р. О. Сообщ. АН ГССР, 1986, т. 121, 3, 325.
3. Карапетянц М. Х. Химическая термодинамика. М.: Химия, 1975, 546.

К СВЕДЕНИЮ АВТОРОВ

1. В журнале «Известия АН Грузинской ССР, серия химическая» публикуются статьи в основном на грузинском и русском языках, в которых содержатся результаты исследований теоретического и экспериментального характера по ведущим направлениям современной химии и технологии, а также обзорные статьи.

Периодически публикуется хроника о конференциях, совещаниях, семинарах и других научно-организационных мероприятиях, проводимых в республике.

2. Объем статьи, включая таблицы, рисунки (3 рисунка приравниваются к одной странице), подписи к рисункам, список использованной литературы, резюме на грузинском, русском и английском языках, не должен превышать 12 страниц машинописного текста, отпечатанного через два интервала. С левой стороны оставляются поля шириной 3 см.

Резюме, список использованной литературы, таблицы и подписи к рисункам исполняются на отдельных листах.

3. Объем кратких сообщений не должен превышать 4 страницы машинописного текста. Сообщения могут быть иллюстрированы 1—2 рисунками.

4. Статьи (краткие сообщения) представляются в двух экземплярах с направлением учреждения, решением Ученого совета (кафедры, отдела, лаборатории) об их публикации, с заключением экспертной комиссии.

В начале статьи (слева вверху) пишется индекс УДК, справа вверху указывается раздел журнала, в котором должна быть опубликована статья, затем следуют инициалы и фамилии авторов, заглавие и текст статьи. В конце текста с левой стороны указывается полное название учреждения, в котором выполнена работа. Статья должна быть подписана всеми авторами с указанием на отдельном листе их адресов и телефонов.

5. Изложению экспериментального материала должно предшествовать краткое введение, излагающее цель работы. Далее должно быть приведено описание, обсуждение полученных результатов и заключение. Таблицы, приведенные в тексте, следует озаглавить.

6. Формулы и буквенные обозначения должны быть вписаны тушью. Особое внимание следует обратить на изображение индексов и показателей степеней. Во избежание ошибок следует делать ясное различие между прописными и строчными буквами латинского и греческого алфавита.

7. Рисунки должны быть исполнены на белой бумаге или на кальке тушью. На обороте каждого рисунка карандашом пишутся фамилии авторов, заглавие статьи. Рисунки и таблицы должны быть пронумерованы и представлены в двух экземплярах.

8. Цитируемая литература приводится на отдельной странице. Все ссылки даются в написании оригинала. Иностранные фамилии в статье даются в транскрипции основного текста.

Цитируемая литература приводится в следующем порядке:
а) для журнальных статей: фамилии и инициалы авторов, название журнала, год, том, номер (серия), страница;
б) для книг: фамилии и инициалы авторов, название книги, место издания, издательство, год, том и страница.

Ссылки на неопубликованные работы (кроме диссертаций) не допускаются. Использованная литература должна быть расположена в порядке последовательности цитирования.

9. Обозначение и сокращение физических величин должны соответствовать Международной системе единиц.

10. Рукописи, не отвечающие настоящим правилам, редакцией не принимаются.

11. В журнале статьи публикуются в порядке поступления в редакцию. В случае возвращения автору статьи для доработки, датой представления считается день получения редакцией окончательного текста. В одном номере журнала может быть опубликована одна статья автора и одно краткое сообщение.

12. Редакция согласовывает с автором одну корректуру статьи, в которой исправлению подлежат только ошибки типографии, никакие дополнения или изменения первоначального текста не допускаются.

Редакция бесплатно выдает авторам 12 отдельных оттисков статьи.

Цена 90 коп.

6122/80

Индекс

